

2017年7月20-21日 筑波大学

有機フッ素化学序論

Introduction to Organofluorine Chemistry

フッ素化学—戦争と平和—
Fluorine Chemistry in War and Peace

園田 高明
Takaaki SONODA

uapfukuro@icloud.com

今日から
モノ知り
シリーズ

トコトンやさしい

フッ素の本

フッ素は科学的・学術的にも大変興味深い元素で、住まいや日常生活、健康関連、交通関係、半導体・情報通信など多くの分野で使われ、私たちの便利な生活、安全安心な暮らしに確立っています。

山辺 正顕 監修
F&Fインターナショナル 編著



車や衣服が水や油をはじくのはフッ素の役目
住宅や車両でフッ素が省エネに貢献
半導体とフッ素の関係

日刊工業新聞社

知りたいことが
よくわかる

- 第1章 フッ素ってなんだろう?
第2章 身の回りにあるフッ素を探そう!
第3章 家電製品を支えているフッ素
第4章 交通・輸送で活躍するフッ素
第5章 半導体、情報通信で活躍するフッ素
第6章 お医者さんの処方箋にもフッ素の入った薬が…
第7章 21世紀のクリーンエネルギー、環境の力ギを握るフッ素

参考文献1：

山辺正顕監修／
F&Fインターナショナル編

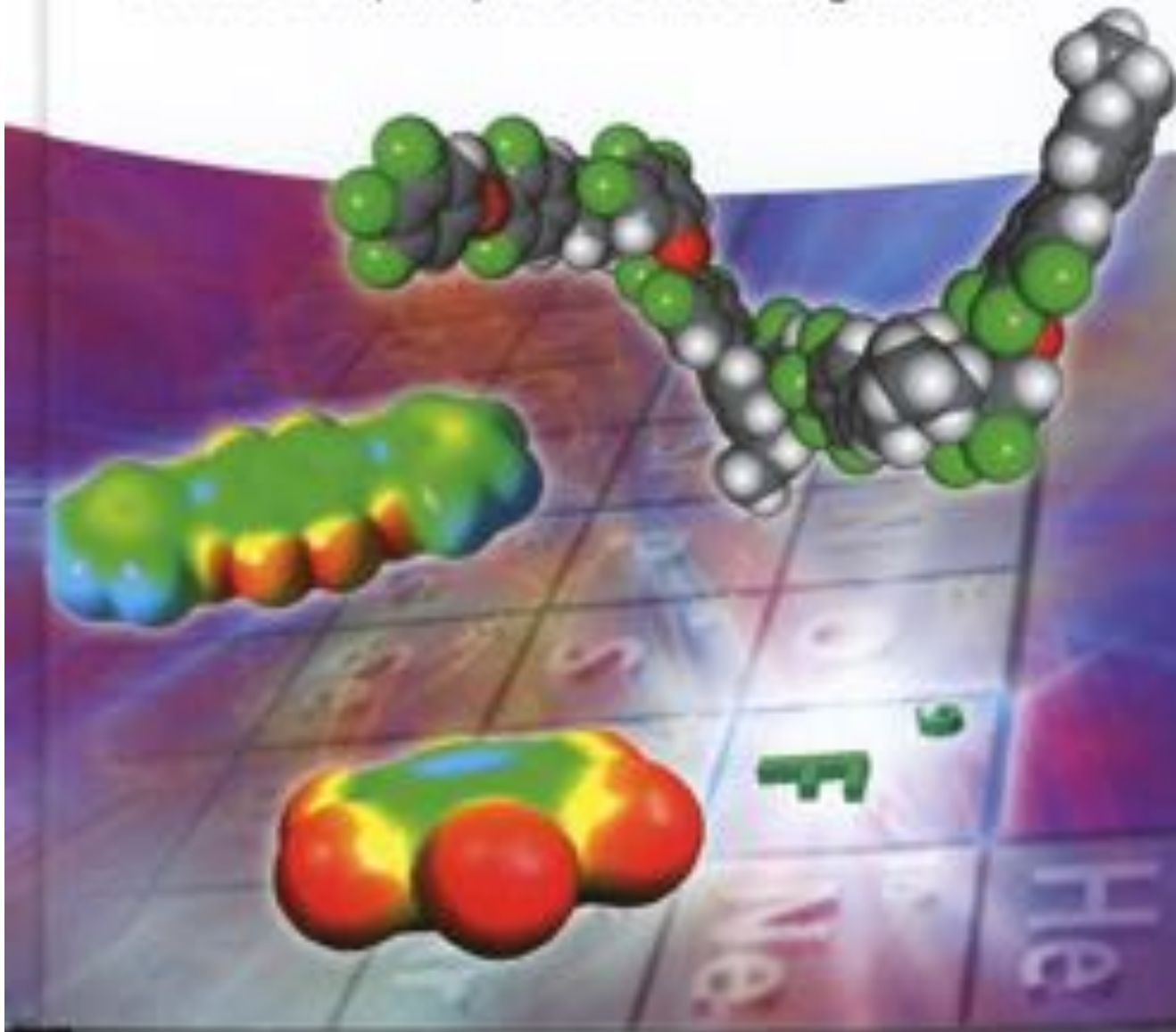
「トコトンやさしいフッ素の本」
(日刊工業新聞社／2012年)

Peer Kirsch

Modern Fluoroorganic Chemistry

Synthesis, Reactivity, Applications

Second, Completely Revised and Enlarged Edition



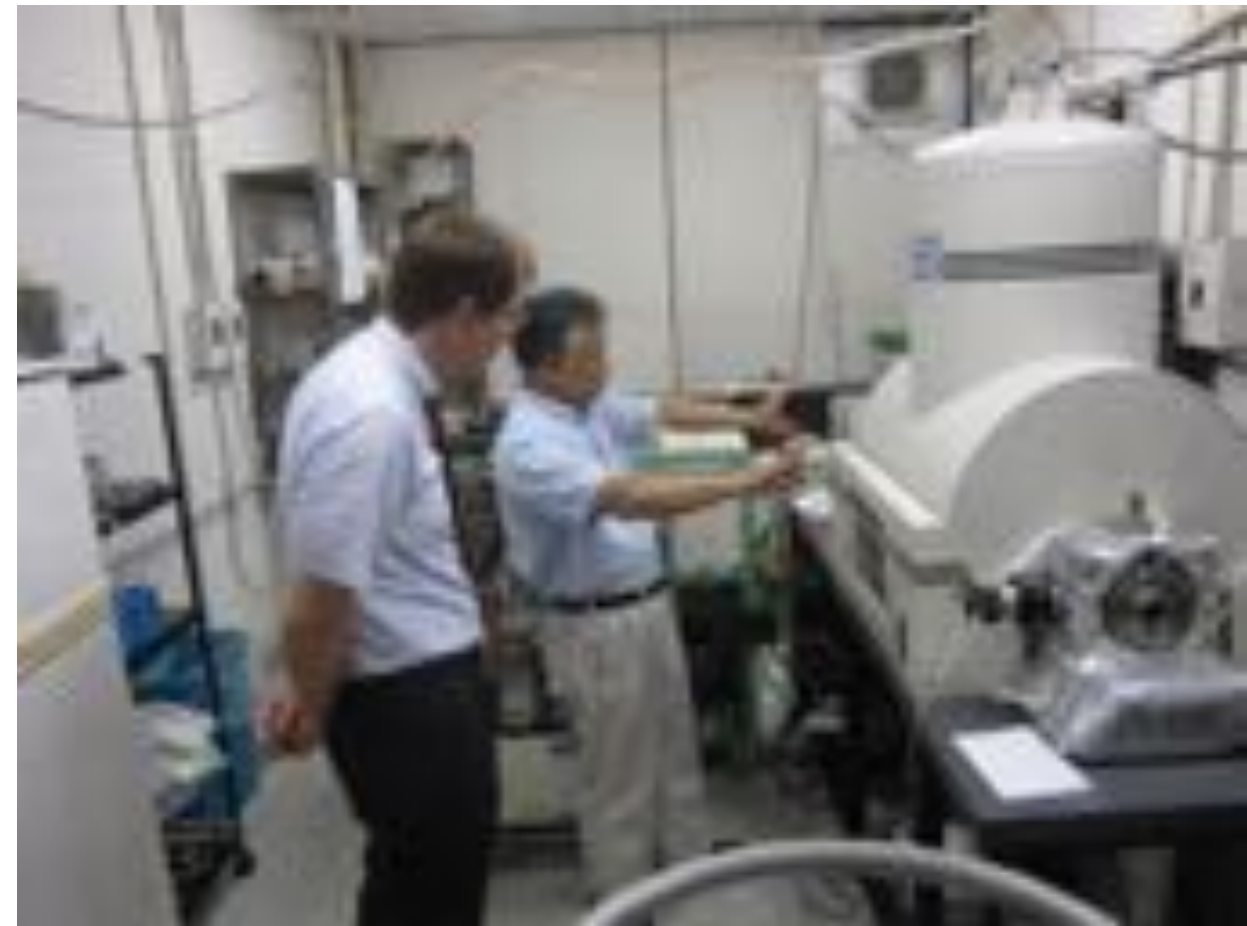
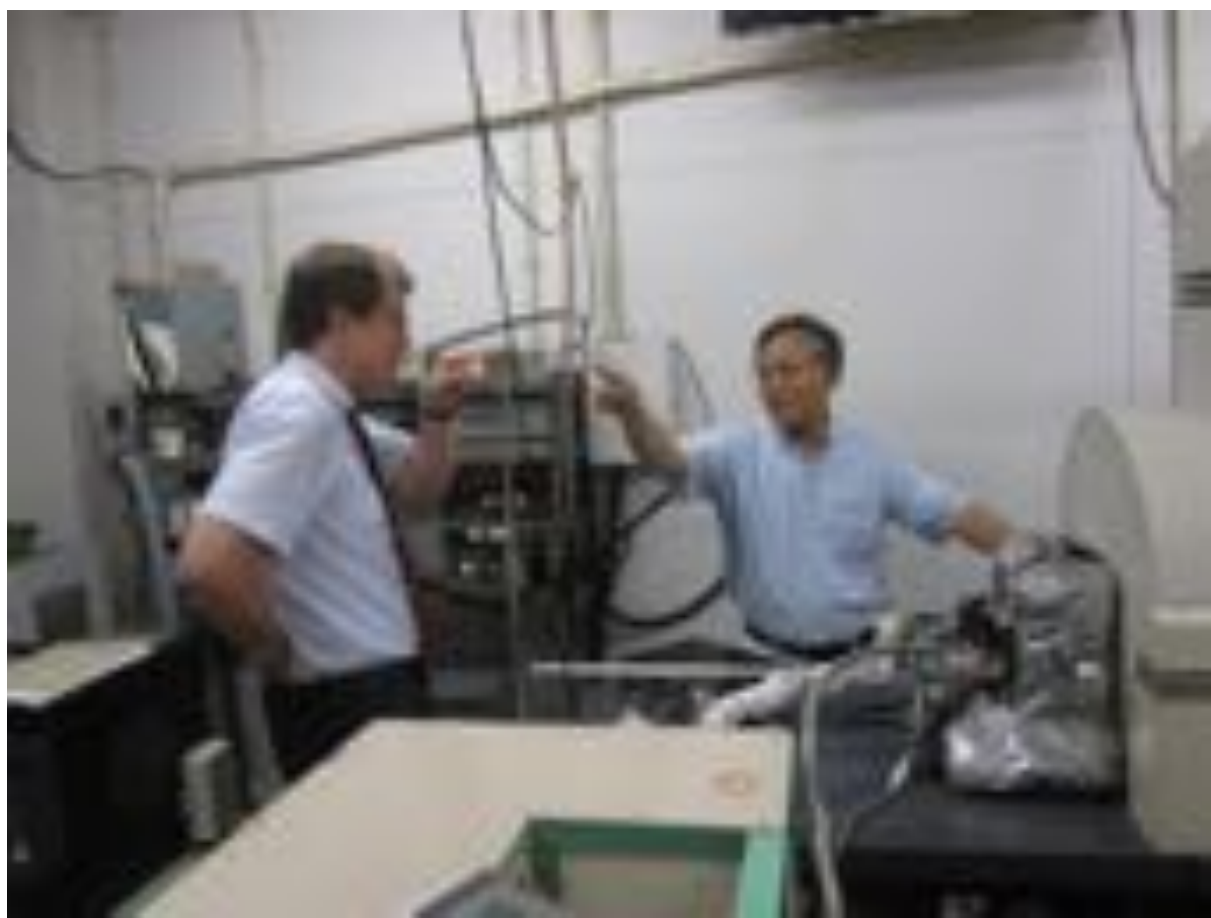
参考文献2：

Peer Kirsch著

**Modern
Fluoroorganic Chemistry
-Synthesis, Reactivity,
Applications**

(second edition)
(Wiley-VCH, 2013)





Jun 22, 2010, at Kyushu University



Sep 5, 2010, Zen meditation at Dazaifu Kai-Dan-In Temple in Fukuoka



Peter Kirsch
Die Barbaren aus dem Süden.
-Europäer im alten Japan 1543 bis 1854-
(Mandelbaum Verlag, Wien, 2004)

1	<u>Introduction</u>
Part I	<u>Synthesis of Complex Organofluorine Compounds</u>
2	Introduction of Fluorine
3	Perfluoroalkylation
4	Selected Fluorinated Structures and Reaction Types
5	The Chemistry of Highly Fluorinated Olefins
Part II	<u>Fluorous Chemistry</u>
6	Fluorous Chemistry
7	Fluorous Synthesis and Combinatorial Chemistry
Part III	<u>Applications of Organofluorine Compounds</u>
8	Halofluorocarbons, Hydrofluorocarbons, and Related Compounds
9	Pharmaceuticals and Other Biomedical Applications
Appendix A: Typical Synthetic Procedures	

有機フッ素化学発展の歴史

Table 1.1 Dates and historical key events in the development of fluoroorganic chemistry.

Time	Key event
1764	First synthesis of hydrofluoric acid from fluorspar and sulfuric acid by A. S. Marggraf, repeated in 1771 by C. Scheele $\text{CaF}_2 + \text{H}_2\text{SO}_4 \rightarrow \text{HF}$
1863	Synthesis of benzoyl fluoride as the first fluoroorganic compound by A. Borodin $\text{PhCOCl} + \text{MF} \rightarrow \text{PhCOF} + \text{MCl}$
1886	First synthesis of elemental fluorine by H. Moissan (Nobel Prize in 1906) by electrolysis of an HF–KF system $\text{HF-KF} \rightarrow \text{F}_2 \text{ (gas)}$
1890s	Beginning of halofluorocarbon chemistry by direct fluorination (H. Moissan) and Lewis acid-catalyzed halogen exchange (F. Swarts) $\text{XCH} + \text{MF} \rightarrow \text{FCH}$
1920s	Access to fluoroarenes by the Balz–Schiemann reaction $\text{Ar-N}_2^+ \text{BF}_4^- \rightarrow \text{ArF}$
1930s	Refrigerants (Freon, in Germany Frigen), fire extinguishing chemicals (Halon), aerosol propellants. Fluorinated dyes with enhanced color fastness.
1940s	Polymers (PTFE = Teflon), electrochemical fluorination (H. Simons)

<u>1941–1954</u>	Manhattan Project: highly resistant materials for isotope separation plants, lubricants for gas centrifuges, and coolants 原爆の開発 (Manhattan Project)
1950s	Fluoropharmaceuticals, agrochemicals, artificial blood substitutes, respiratory fluids, and chemical weapons
1980s	Gases for plasma etching processes and cleaning fluids for the semiconductor industry
<u>1987</u>	The Montreal Protocol initiates the phasing-out of CFCs オゾン層の破壊
1990s	Fluorinated liquid crystals for active matrix liquid crystal displays (AM-LCDs)
2000s	Fluorinated photoresists for the manufacture of integrated electronic circuits by 157 nm photolithography

周期表の成り立ち

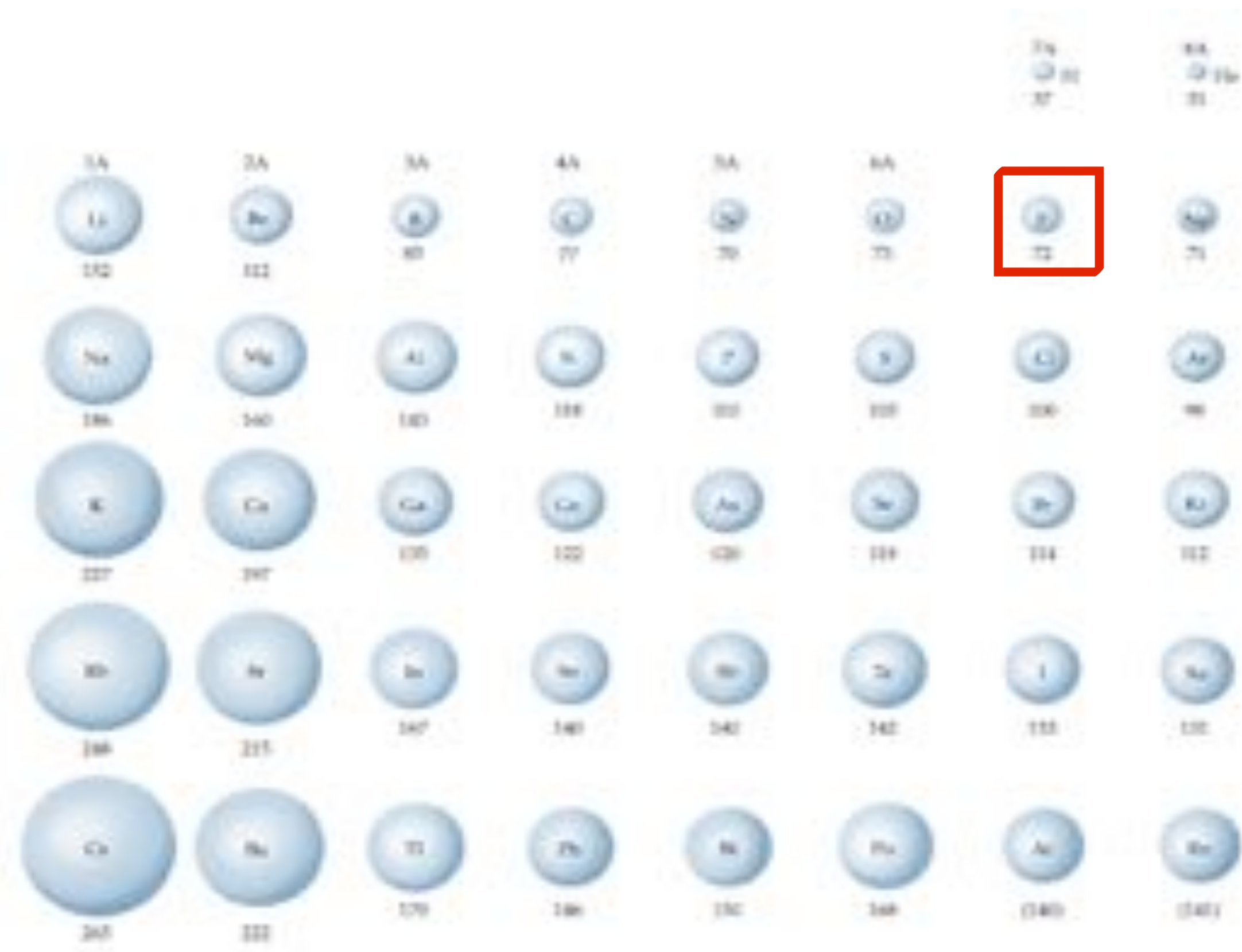
The diagram illustrates the structure of the periodic table based on electron configuration. The table is color-coded by atomic number (Z) from 1 to 18, with a vertical orange bar at Z=12 separating the first two periods.

Electron Configuration: The top row shows the configuration for Hydrogen (H) and Helium (He). Hydrogen has 1 s¹, and Helium has 1 s². Subsequent elements follow the Aufbau principle: 2 p¹ for Lithium (Li), 2 p² for Beryllium (Be), 3 s¹ for Sodium (Na), 3 s² for Magnesium (Mg), 3 p¹ for Potassium (K), 3 p² for Calcium (Ca), 4 s¹ for Scandium (Sc), 4 s² for Titanium (Ti), 4 p¹ for Vanadium (V), 4 p² for Chromium (Cr), 4 p³ for Manganese (Mn), 4 s² 3 d⁵ for Iron (Fe), 4 s² 3 d⁶ for Cobalt (Co), 4 s² 3 d⁷ for Nickel (Ni), 4 s² 3 d⁸ for Copper (Cu), 5 s¹ for Zinc (Zn), 5 s² for Gallium (Ga), 5 p¹ for Germanium (Ge), 5 p² for Arsenic (As), 5 p³ for Phosphorus (P), 5 s² 4 d¹⁰ for Sulfur (S), 5 s² 4 d¹⁰ 3 p⁵ for Chlorine (Cl), 5 s² 4 d¹⁰ 3 p⁶ for Argon (Ar), 6 s¹ for Potassium (K), 6 s² for Calcium (Ca), 6 p¹ for Lanthanum (Lu), 6 p² for Hafnium (Hf), 6 p³ for Tantalum (Ta), 6 p⁴ for tungsten (W), 6 s² 5 d¹⁰ for Rhenium (Ru), 6 s² 5 d¹⁰ 4 f¹⁴ for Osmium (Os), 6 s² 5 d¹⁰ 4 f¹⁴ 5 p⁶ for Iridium (Ir), 6 s² 5 d¹⁰ 4 f¹⁴ 5 p⁶ 4 g¹ for Platinum (Pt), 6 s² 5 d¹⁰ 4 f¹⁴ 5 p⁶ 4 g² for Gold (Au), 7 s¹ for Francium (Fr), 7 s² for Radium (Ra), 7 p¹ for Actinium (Ac), 7 p² for Thorium (Th), 7 p³ for Protactinium (Pa), 7 s² 6 d¹⁰ for Neptunium (Np), 7 s² 6 d¹⁰ 5 f¹⁴ for Americium (Am), 7 s² 6 d¹⁰ 5 f¹⁴ 6 p⁶ for Curium (Cm), 7 s² 6 d¹⁰ 5 f¹⁴ 6 p⁶ 4 f¹ for Bk, 7 s² 6 d¹⁰ 5 f¹⁴ 6 p⁶ 4 f² for Es, 7 s² 6 d¹⁰ 5 f¹⁴ 6 p⁶ 4 f³ for Fm, 7 s² 6 d¹⁰ 5 f¹⁴ 6 p⁶ 4 f⁴ for Md, and 7 s² 6 d¹⁰ 5 f¹⁴ 6 p⁶ 4 f⁵ for No.

Orbital Filling Sequence: Colored arrows indicate the sequence of orbital filling:

- A yellow arrow points to the 2 p¹ orbital of Beryllium (Be).
- A blue arrow points to the 3 s¹ orbital of Sodium (Na).
- A green arrow points to the 3 p¹ orbital of Phosphorus (P).
- An orange arrow points to the 4 s¹ orbital of Potassium (K).

Atomic radii (原子半径) in picometer (1 pm = 1×10^{-12} m)



米沢富美子著 「人物で語る物理入門」(上)(下)(岩波新書)
(2005-2006年)

発見の物語を楽しみながら、物理の基礎がわかる！



科学史(第1章)、力学(第2章&第3章)、
光学(第4章)、電磁気学(第5章)、
熱力学・統計力学(第6章)、特殊相対論(第7章)、
一般相対論(第8章)、量子力学(第9章)、
宇宙論(第10章)、原子核物理(第11章&第12章)、
素粒子物理(第13章&第15章)、物性物理(第14章)

- 第1章 人類と科学との出会い —アリストテレス、アルキメデス、プレマイオスター
- 第2章 近代科学の夜明け —コペルニクス、ガリレイ、ケプラー—
- 第3章 月とりんごを統一する法則 —アイザック・ニュートン—
- 第4章 光の本質を求めて —クリスティアン・ホイヘンス—
- 第5章 電気と磁気の謎を追う —ジェームズ・C・マクスウェル—
- 第6章 エネルギーとエントロピー —ルートヴィヒ・ボルツマン—
- 第7章 「時空」への旅 —特殊相対性理論— —アルバート・アインシュタイン1—
- 第8章 空間がひずむ —一般相対性理論— —アルバート・アインシュタイン2—
- 第9章 「コペンハーゲン精神」の誕生 —ニールス・ボーア—
- 第10章 宇宙の果てを覗く —エドWIN・ハッブル—
- 第11章 原子核物理学を築いた女性たち —マリー・キュリーとリーゼ・マイトナー—
- 第12章 「原爆の父」の刻印を背負って —ロバート・オッペンハイマー—
- 第13章 日本の物理学の搖籃期 —湯川秀樹と朝永振一郎—
- 第14章 情報化社会の開拓者 —ジョン・バーディーン—



藤水 茂

只、一ト・オツパンハイマー

著者としての科学者



物理学に
罪はあるか。
「原爆の父」初の本格的評伝

新日本出版社

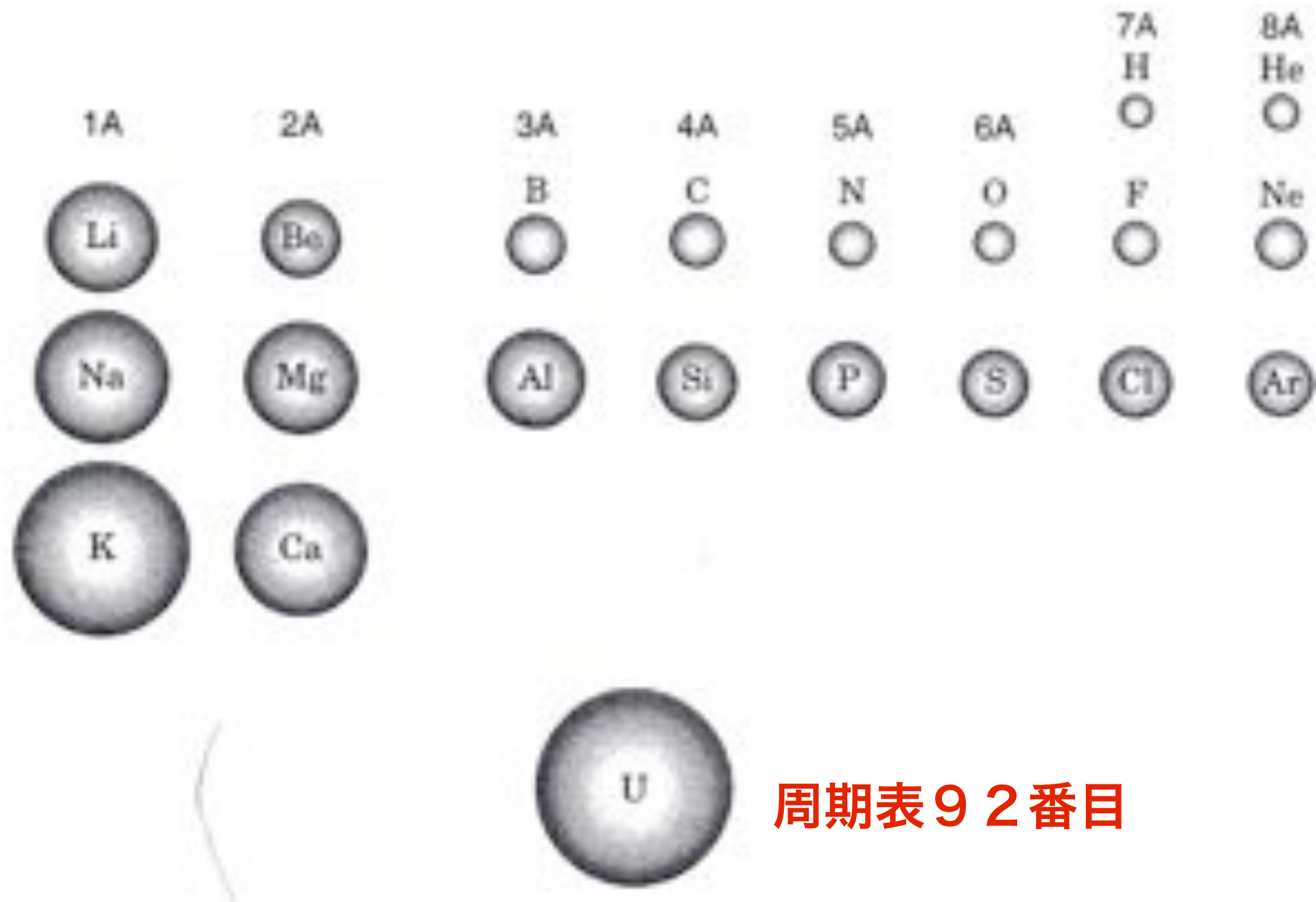
この本は「原爆の父」として知られる、物理学者のオットー・オズパンハイマーの傳記である。著者はその時代から現在までの歴史的背景の中で、オズパンハイマーの人生と業績を紹介する。また、その業績が世界の歴史に与えた影響についても述べる。著者の筆によると、オズパンハイマーは「その業績は、世界の歴史に与えた影響が大きい」と評されるべきである。著者は「その業績は、世界の歴史に与えた影響が大きい」と評されるべきである。

II 球形の原爆

この本は「原爆の父」として知られる、物理学者のオットー・オズパンハイマーの傳記である。著者はその時代から現在までの歴史的背景の中で、オズパンハイマーの人生と業績を紹介する。また、その業績が世界の歴史に与えた影響についても述べる。著者の筆によると、オズパンハイマーは「その業績は、世界の歴史に与えた影響が大きい」と評されるべきである。著者は「その業績は、世界の歴史に与えた影響が大きい」と評されるべきである。

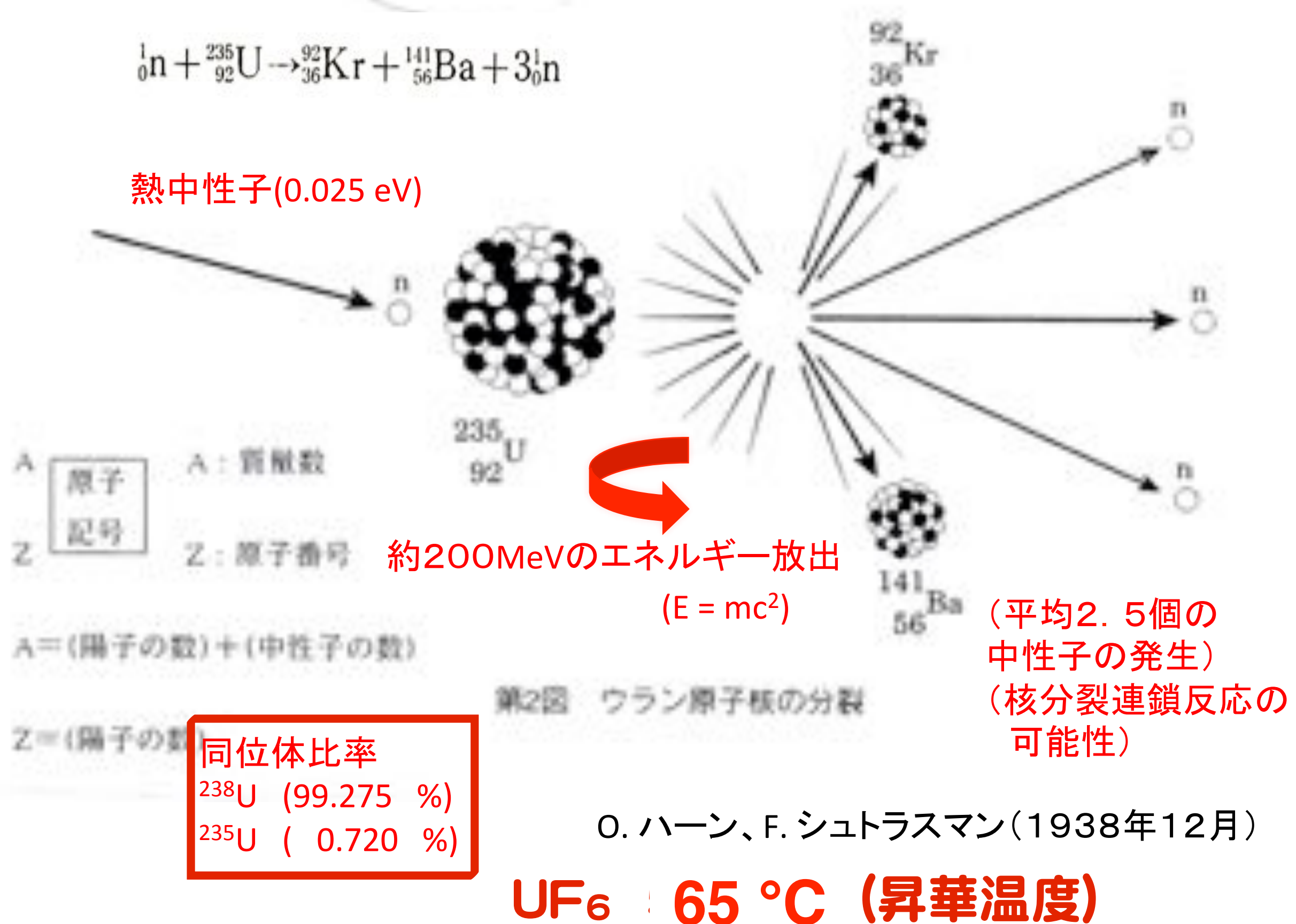
著者：藤水 茂

原子と原子核／核分裂連鎖反応



周期表20番目までの原子の大きさとウラン原子の大きさの比較

熱中性子を用いたウラン²³⁵Uの核分裂反応の発見





リーゼ・マイトナー（左、物理学者）と
オットー・ハーン（右、化学者）(1913年)

(1933年) アドルフ・ヒトラー政権取得、マイトナー教授職解任
(1938年) オストリア併合、マイトナーのスウェーデン亡命

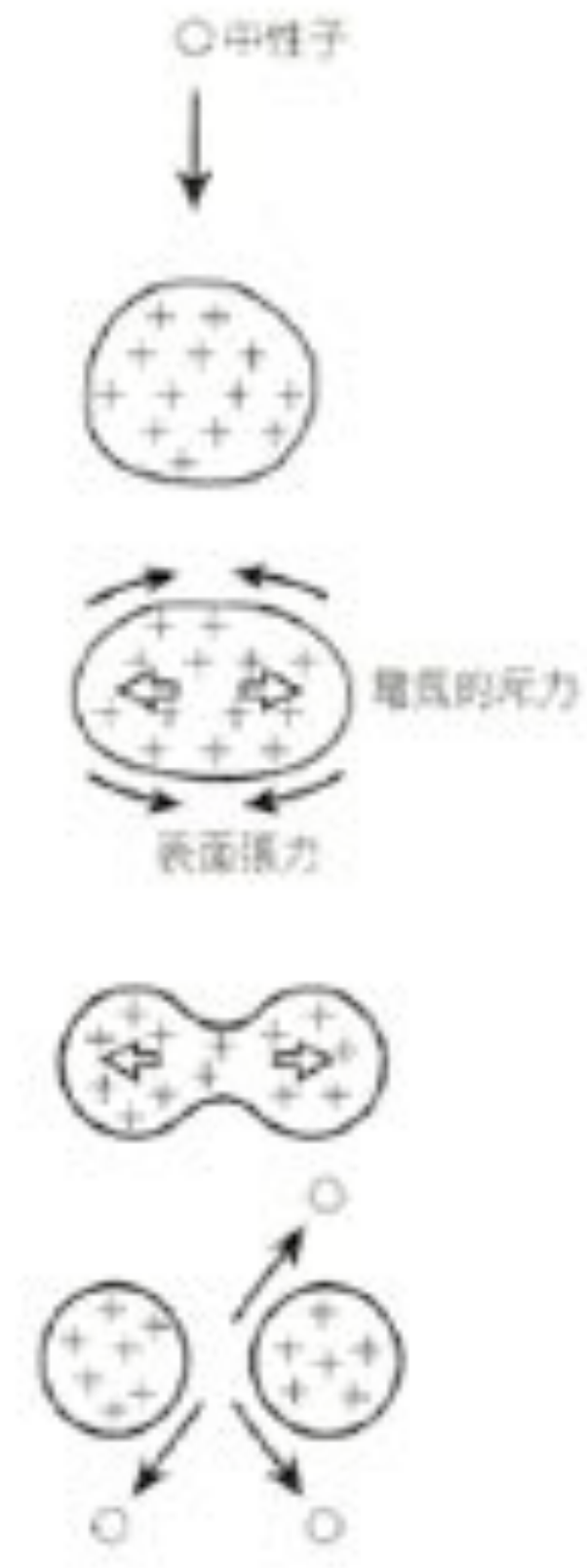


リーゼ・マイトナー (1946年)
Lise Meitner (1878- 1968)

L.マイトナーとO.フリッシュによる
N.ボーアの原子核の液滴モデルによる
ウランの核分裂反応の機構解明
(1939年1月)

マイトナーによる200MeVの巨大なエネルギー放出の計算

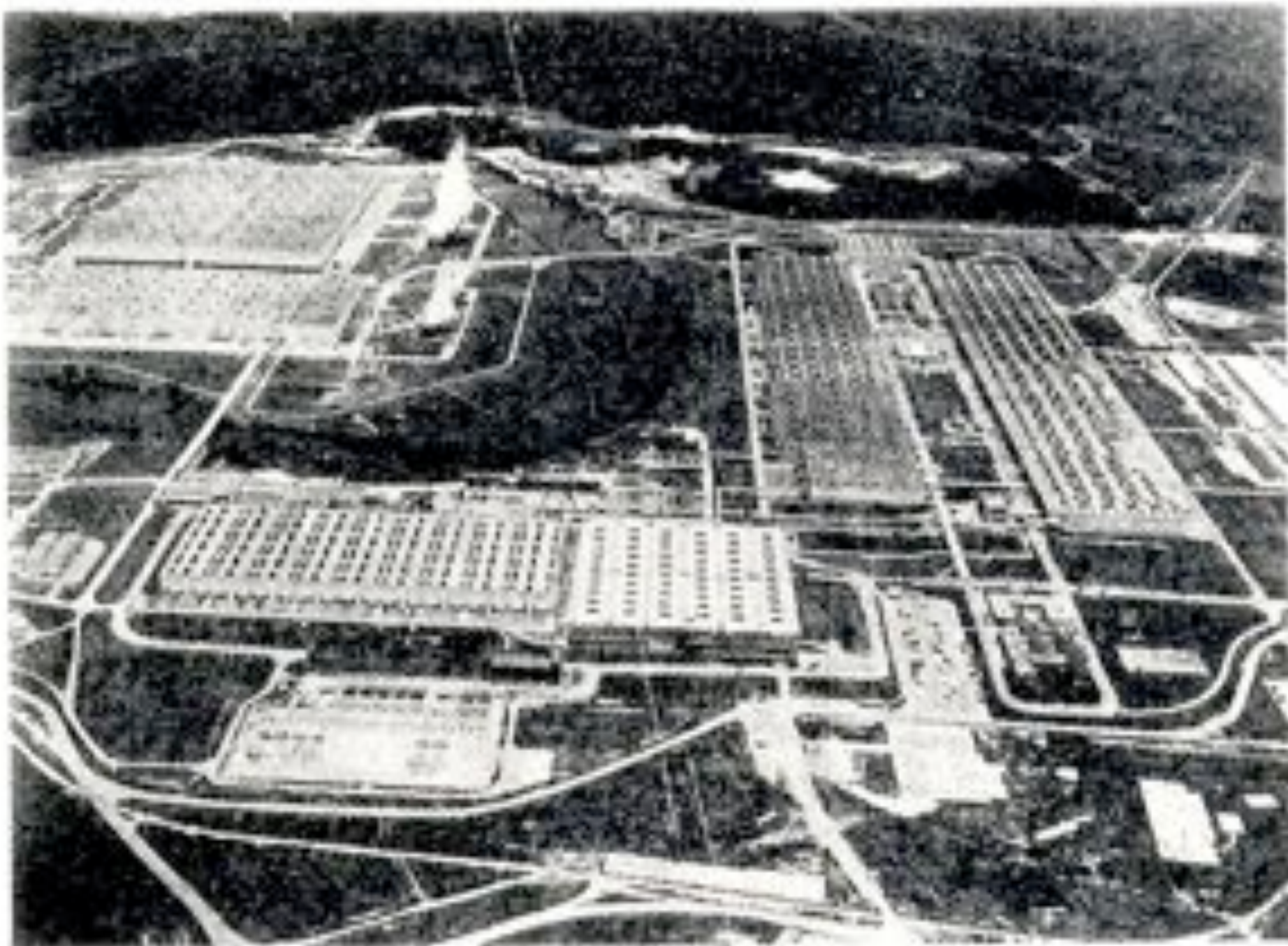
N.ボーアによるアメリカへのウラン核分裂発見のニュースの伝搬、
亡命ユダヤ系科学者たちによるルーズベルト大統領への原爆製造の提言、
第2次大戦中の米国による「マンハッタン計画」
(原子爆弾製造計画)の開始(1942年8月)



藤永茂著「ロバート オッペンハイマー—愚者としての科学者」(朝日選書)



ベルリンのカイザーウィルヘルム研究所で、マイトナーがハーン、シュトラスマント共に行行った実験の装置・器具。ウランの核分裂はこのような簡素な装置で**1938年12月**に発見された。



オークリッジのウラン同位元素分離工場 気体拡散法にもとづいた巨大な施設が建設された。長大な建物は、長さ数百メートル、総床面積20万平方メートルに及んだ。

ロスアラ莫斯研究所における 原爆開発に関わった物理学者

J. ロバート オッペンハイマー
研究所長

2年間週6日制6000人の科学者と技術者が数万人の事務技士関係者といっしょに二重の鉄条網に囲まれた研究所で暮らした。



ロスアラ莫斯の物理学者たち
左上から
J.ロバート・オッペンハイマー
エリコ・フェルミ
ジョン・マーティン
ジョン・ブランツ
ジョン・マーティン

ロスアラ莫斯の物理学者たち
右上から
ジョン・マーティン
ジョン・マーティン
ジョン・マーティン
ジョン・マーティン
ジョン・マーティン
ジョン・マーティン

ロスアラ莫斯の物理学者たち
右上から
ジョン・マーティン
ジョン・マーティン
ジョン・マーティン
ジョン・マーティン
ジョン・マーティン
ジョン・マーティン



藤水 茂

ロバート・オッペンハイマー

著者としての科学者



物理学に
罪はあるか。

「原爆の父」初の本格的評伝

朝日新聞社・カブリ出版

トの意味「豊と安」

「豊と安」が豊かな社会をつくるために必要なことを学ぶ。豊と安の関係は、必ずしも「豊かさ」を守るために「安」を守る事である。豊かさは、必ずしも「豊かさ」を守るために「安」を守ることである。豊かさは、必ずしも「豊かさ」を守るために「安」を守ることである。

2 総合的視点

「豊と安」が豊かな社会をつくるために必要なことを学ぶ。豊と安の関係は、必ずしも「豊かさ」を守るために「安」を守ることである。豊かさは、必ずしも「豊かさ」を守るために「安」を守ることである。豊かさは、必ずしも「豊かさ」を守るために「安」を守ることである。

朝日新聞社

原子と原子核／核分裂連鎖反応



Disturbing The Universe
宇宙をかき乱すべきか—ダイソン自伝
Freeman Dyson著/鎮目恭夫訳
ダイヤmond社(1982年)



(1982)

Freeman John Dyson (1923-)



(2005)



宇宙をかき乱すべきか〈上〉
(ちくま学芸文庫) (2006年)





(1982)



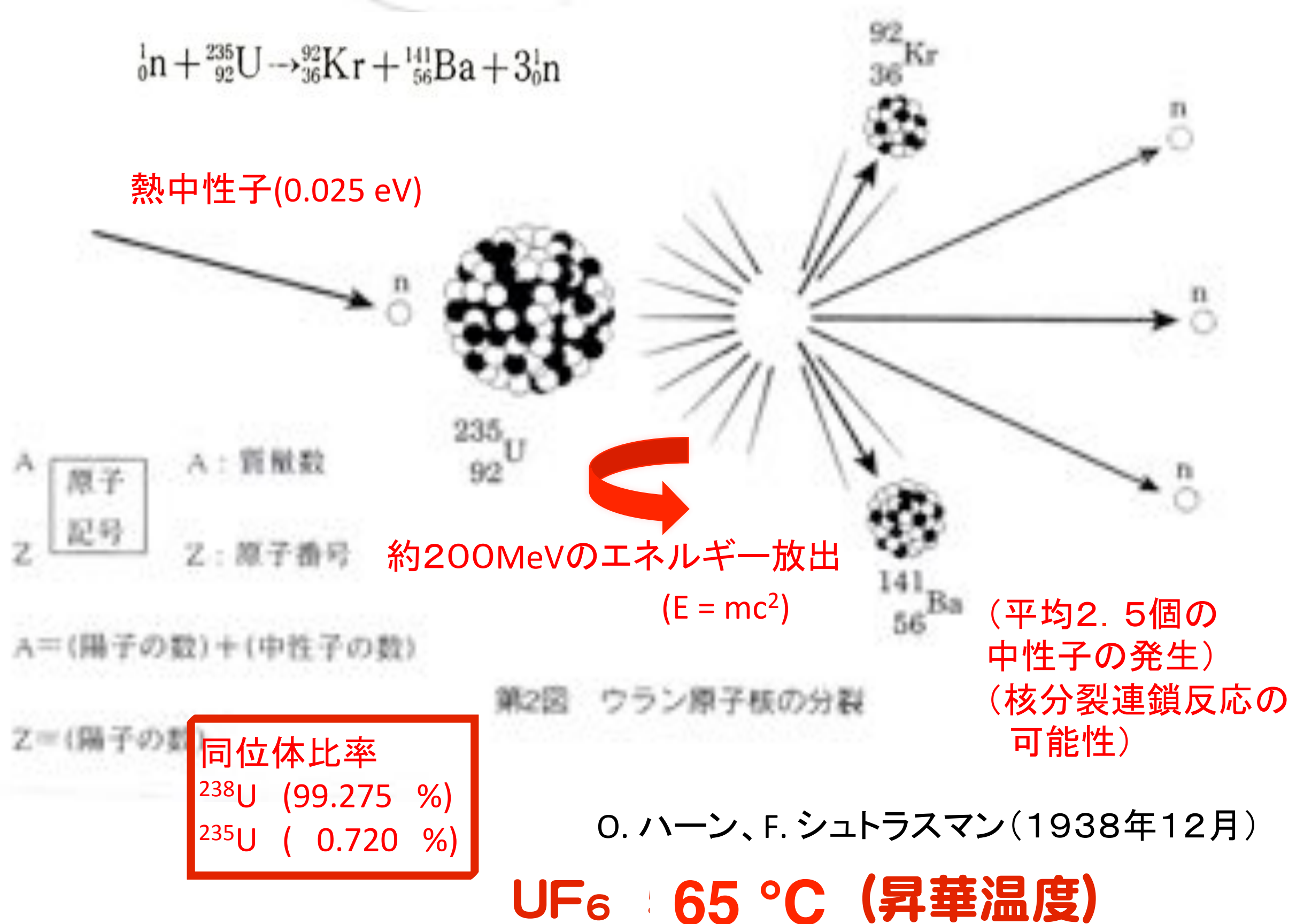
(2005)

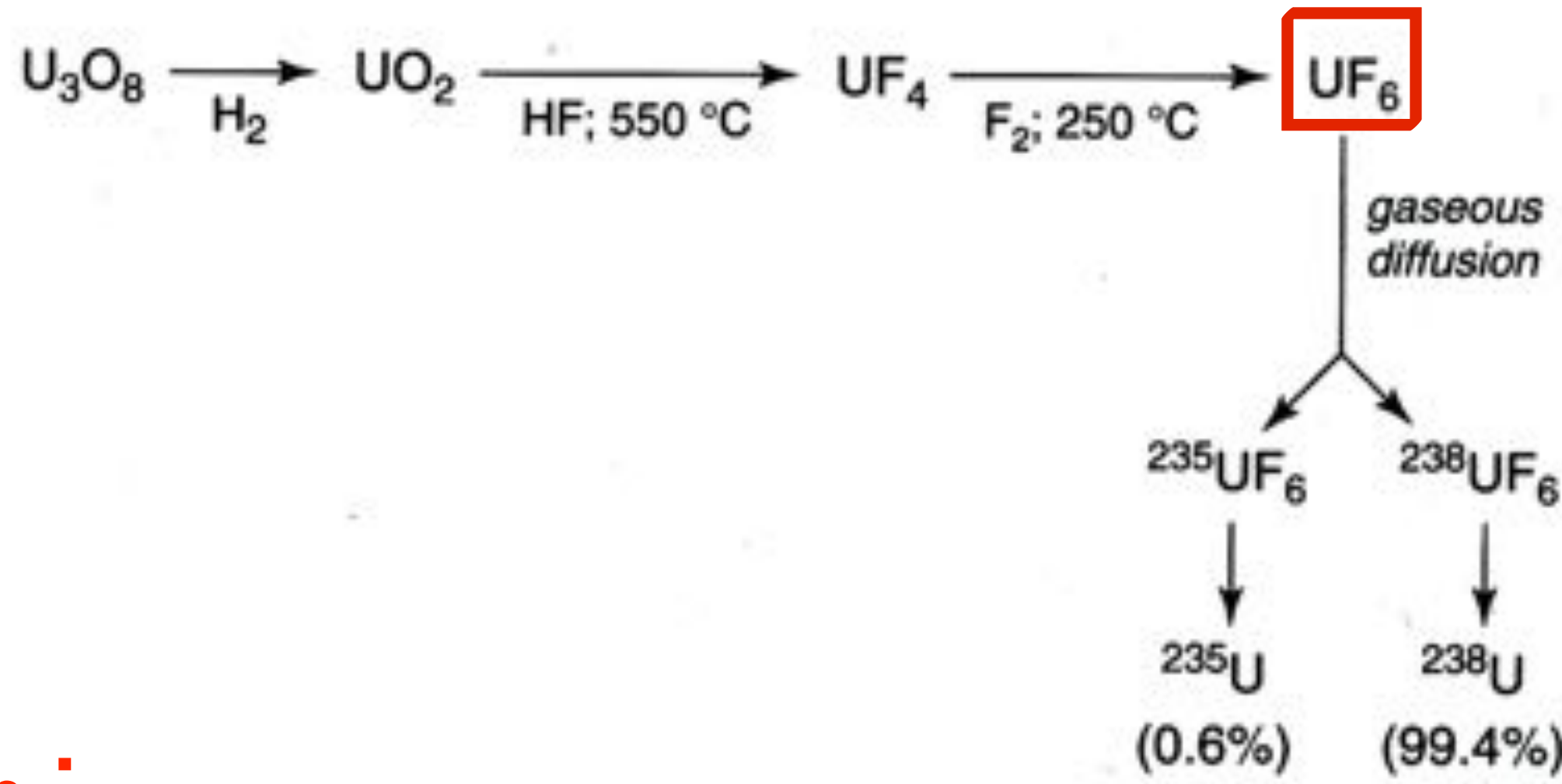
1923年イギリス、クロウソーン生まれ。ケンブリッジ大学、コーネル大学大学院卒業。プリンストン高級研究所名誉教授。理論物理学者、宇宙物理学者。1957年アメリカ合衆国に帰化。アメリカ合衆国兵器研究所、国防省、航空宇宙局、軍備管理軍縮局の嘱託を務めた。

Freeman John Dyson (1923-)

相対性理論と量子力学を量子電気力学的に統合した数式「ダイソン方程式」を24歳で発表し、その後物質の安定性、相転移、重力理論等純粹物理研究の他、地球外知的文明、原子炉設計、核軍縮問題等広汎な分野で研究を続けている知性の巨人による自伝。科学のみならず、哲学、芸術、宗教等への深い造詣に裏打ちされた言葉は、科学・技術のあり方、ヒトという種の未来について叡智に満ち溢れている。宇宙論的視野に立ち、遠大な未来展望を与えてくれる本書は、基礎的な科学教養書の名著として名高い。上巻は、生い立ちからファインマン、オッペンハイマー等一流の科学者たちとの交流などのエピソードを収録。下巻は、科学者の社会的良心、地球外生物の探索、宇宙空間の利用、心と思考の考察などのエピソードを収録。

熱中性子を用いたウラン²³⁵Uの核分裂反応の発見





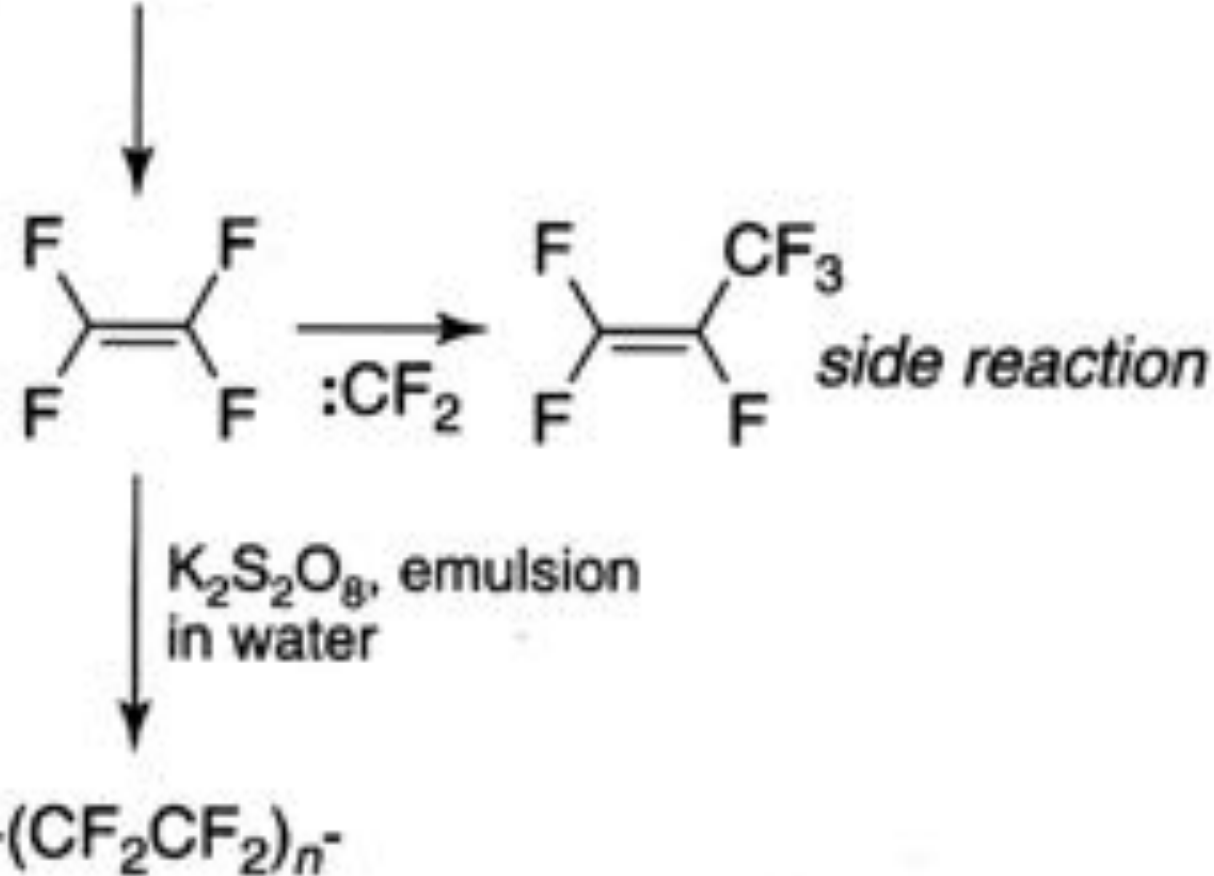
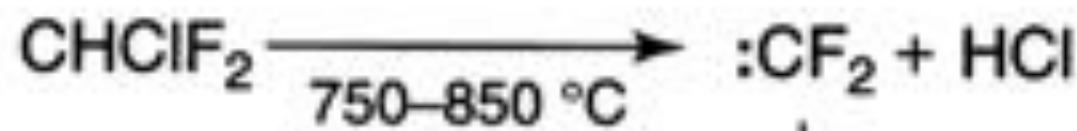
UF₆ :

腐食性で昇華性（昇華温度 65°C）

F₂分子と同様に酸化力が極めて大きい分子である。

ほとんどの金属を瞬時に酸化し、ほとんどの有機化合物と激しく反応する。

1943年オークリッジK-25 facilityで行われた大量の気体UF₆の同位体分離にはNi粉末と組み合わされたPTEF(polytetrafluoroethylene)シールが用いられた。



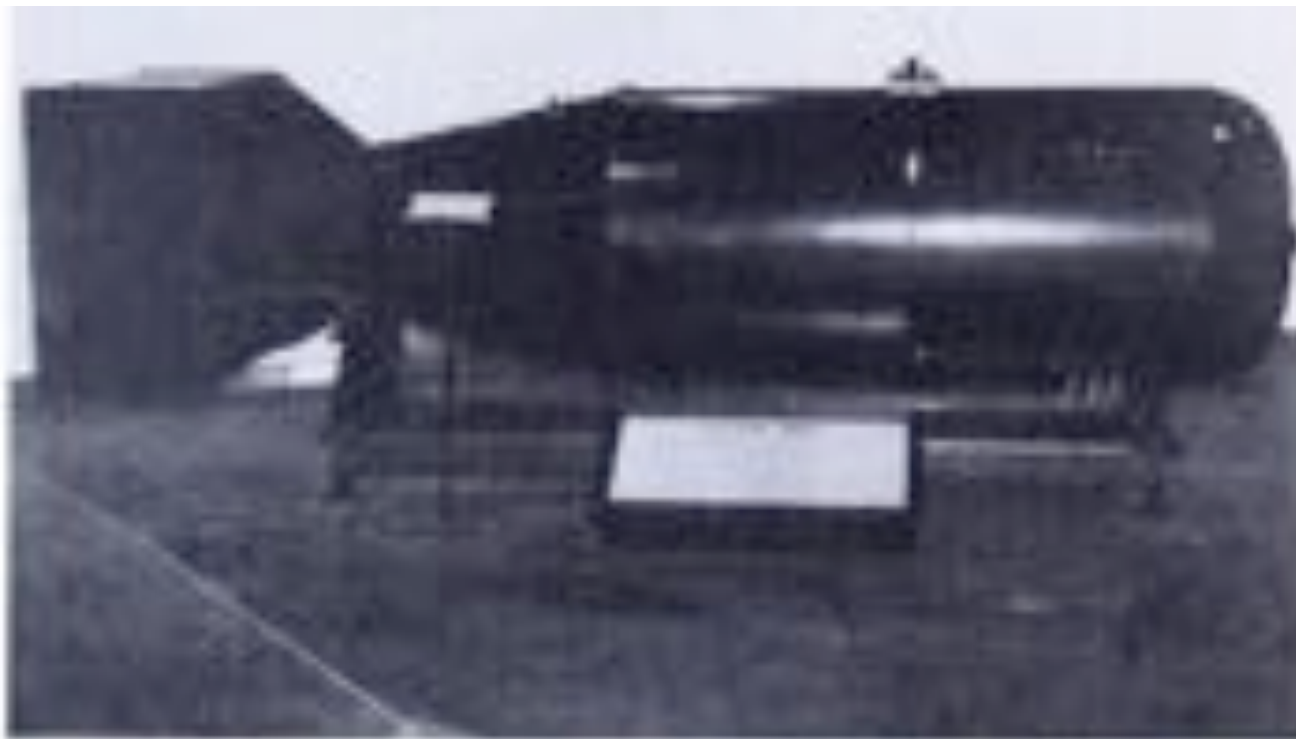
**PTEF(polytetrafluoroethylene)
(Teflon)**

**J.K. Plunkett with a cut cylinder of polymerized tetrafluoroethylene
at Du Pont(1938)**



1945年7月16日
ニューメキシコ州トリニティ
実験地(アラモゴード)における
プルトニウム型原爆実験
(推定爆発力TNT20キロトン)

同じ型の原爆「ファットマン」が
同年**8月9日に長崎で使用された。**
8月6日の広島ではウラニウム型
原爆「リトルボーイ」が使用された。

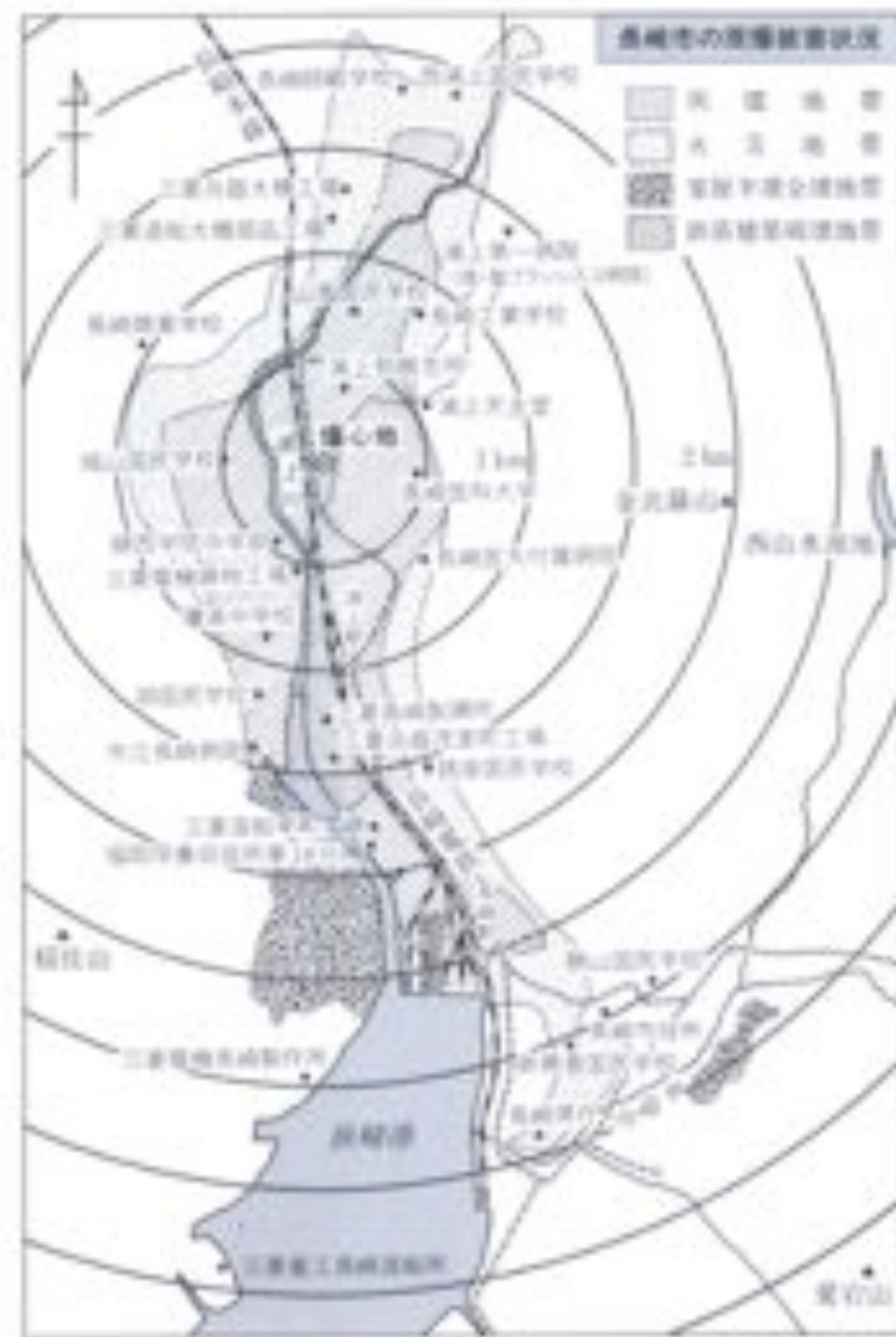


上=広島型ウラン爆弾「リトルボーイ」
下=長崎型プルトニウム爆弾「ファットマン」



B29 エノラゲイ(広島)
リトルボーイ(TNT 15キロトン相当)

B29 ボックスカー(長崎)
ファットマン(TNT 21キロトン相当)



NHKスペシャル(2008年8月7日放映)
「解かれた封印～米軍カメラマンが見たNAGASAKI～」

http://www.youtube.com/watch?v=kLju7NmoHQ4&feature=player_embedded



トランクの中の日本

米従軍カメラマンの正式記録

ジョー・オダネル



ジョン・マッカーリー



吉田勝子



ジョー・オダネル

1920年生れ

1941年1月、アメリカのトランクルームで脚本家ジョーン・チャーチウッド監督。1941年6月、ハントン・カーライル脚本ジョン・マッカーリー大尉が車掌職。ジョン・オカウニーがオガルバードにてローン村で職業操として働き、その他の仕事にアドバイスを教える。1941年10月、ハントン・カーライル監督として、ホーリー・リバーオリジナル・カットの正規版を制作。1941年11月、ハントン・カーライル監督として、国内で脚本監修室に就職する。

1942年1月、ハントン・カーライル監督として正規版・島嶼版の監修に就き、宮崎に赴き日本の船員の被説教状況を記録する任務を受ける。被説教の伝道者へは謝した。その後、2月10日、軍の回収等海上するために正規版・島嶼版を東京へ飛ばし、伊豆諸島を通過した。

1942年3月、帰郷し報酬、名刺代メモを贈ったブルース・ブロードへ持たれて、その機会に珍らしい映像を写真をトランクにしまう。

1942年7月より、アメリカ合衆国海軍情報局に脚本書き、セイビング・ザ・ワールド・マップアンビション・トゥルーラン、ライゼン・ハーフ、タマディ、ジョンソン、ニラムンの大統領に任命。『彼はは誰も争う約束』のセリフ。『私に必要なのは、おまかせして、おまかせして、おまかせして』のセリフ。

1943年1月、脚本上の翻訳による訓練。

1943年、最初の朝まで内山了矢に脚本の添削を行った後、脚本監修に就き、日本人のままのトランクを手間ける。

1943年6月、海軍写真撮影をオカーリー・ジョンソン・シムズ監督と、海軍航空兵隊上級撮影官として、海軍を正規版専門に監修されていなかったアーヴィング・カーネギーから出世をされ。

1945年夏にアーヴィング・カーネギーが監修官を退場させていた事実露見。アーヴィング・カーネギーが国内の海軍軍人の死、日本との結婚などによって本ノーラー・カーネギー監修の脚本が中央に流れ込まれる。

しかし、この脚本は全世界で脚本し、世界の脚本監修として脚本活動を続ける。



Joe O' Donnell (1922-2007)

爆心地

ground
zero





This is an aerial view of Sasebo. Buildings of steel reinforced with concrete seemed like the only safe haven. People filled the rooms from the top floors down. As the fire neared the bottom floor of the structures, flames were sucked into the bottom floor and the buildings became a fiery inferno, roasting those inside.

空から見た佐世保市。鉄筋コンクリートの建物だけが安全な避難場所だと考えたのだろう。詰めかけた人で上から下までどの部屋も満員となった。一階に火が迫ると、吸い込まれた炎はたちまち全体に広がった。地獄絵のような火の海の中で人々は焼け死んで行った。







The children's playground was a pile of rubble and broken bits of debris. After offering them an apple, the oldest grabbed it from my hand; they were starving. But despite their intense hunger, they shared the apple, even the skin and core. I tried not to gag as I watched them eating the black flies which covered the entire apple until it was gone.

瓦礫の山が子供達の遊び場だった。私がりんごを差し出すと一番上の子がもぎ取った。3人とも飢えていたのだ。しかし、空腹にもかかわらず一つのりんごをみんなで分け、皮や芯まで食べた。りんごがなくなるまで一面真っ黒にたかっていたハエも一緒に食べているのを見て、私は思わず吐きそうになった。



Many of these children had lost both parents either to the war or to the bomb. Those who had no other living relatives became both mother and father to the babies. I don't know where they slept, what they ate, how or even if they survived. It is estimated that there were over 6,500 A-bomb orphans in Hiroshima alone.

多くの子供達は両親を戦場か空襲で亡くした。親戚も皆死んでしまった場合、年上の子が小さい弟や妹の父となり母とならなければならなかった。私は子供達がどこに寝て、何を食べていたのか知らない。どうやって生き延びたのか、あるいは果たして生き残れたのかも分からぬ。原爆孤児は広島だけでも6,500人以上とされている。



豪飾った少女

この少女とその母親にキャンディをあげると、私はどうしてこんなに豪飾っているのか尋ねた。母親は英語をほとんど話せなかつたが、ジェスチャーと単語を使って、今日は特別な日で自分たちは神社に向かうところだと説明した。また彼女が娘の耳が不自由で何も聞こえないと言ふと、不意に悲しみに襲われた私は思わずその理由を聞いた。この母親によると、アメリカ軍の爆撃機が最初に轟きを観せると、母親たちは自分の子供のもとへ走り、爆音から耳を守るために子供たちの耳に木綿や柔らかい布を詰め込むのであった。しかし不幸なことにある日、この母親は娘のもとに行くのが遅れて、その結果爆音により少女の耳は完全にそして永遠に聞こえなくなつたのである。

DRESSED LITTLE GIRL

After offering this child and her mother candy, I asked why the little girl was so dressed up. Although her mother spoke little English, through signs and broken words she explained it was a special day and they were going to the shrine. She also told me that the child couldn't hear anything. Saddened by this, I asked what happened. She told me that when American bombers were first sighted mothers would run to their children and stuff cotton or soft cloth into their ears to protect them from the devastating sound. Unfortunately this mother didn't get to her daughter in time, and the bombs left her totally and permanently deaf.



This older boy brought his dead brother to the cremation site to be removed from his back and placed on the hot bed of ashes -- his funeral pyre. The older brother stood at attention like a soldier, never looking down, his chin stern, and only the biting of his lower lip betraying his emotions. Afterwards, he quietly turned and walked away.

この少年は弟の亡骸を背負って仮の火葬場にやって来た。そして弟の小さな体を背中から下ろし、火葬用の熱い灰の上に置いた。少年は兵隊の様に直立し、頸を引き締め、決して下を見ようとしなかった。ただ、ぎゅっと噛んだ下唇が心情を物語っていた。火葬が終わると少年は静かに背を向け、その場を去った。少年に会うことは二度となかった。



It saddened me to learn that this man had lived in America but was caught by the war when visiting family in Japan. He spoke frankly, "I lost my entire family and most of my friends. They were like you and me, innocent ones, and they did not deserve to die. I can forgive America, but don't ask me to forget. Like planting seeds in the dirt, buildings will rise out of these ashes, but unfortunately not in my lifetime. You tell your people what it was like after the bomb." Now, 50 years later, the burden of my promise to him is being fulfilled.

この人はアメリカに在住していたが、気の毒なことに日本にいる家族を訪問中、戦争に巻き込まれてしまった。彼が率直に語った。「私は内親を全て亡くし、友人もほとんど死んでしまいました。あなたや私と同じ様に何の罪もない人々です。死に誠することは何もしていません。アメリカを許すことはできます。でも忘れることはできません。土に種をまくのと同じで、この灰の中からも新しい建物が出来るでしょう。しかし残念ながらそれは私が死んでからのことです。どうか原爆投下後の様子をアメリカの人々に伝えて下さい。あれから50年。約束を果たすことでやっと眉の筋を下ろすことができる。



With thermal burns over his entire body, he clung to life. His massive burns caused excruciating agony. Watching him suffer and the stench of burned flesh made me sick. I wanted to stop breathing, to stop seeing the maggots and flies feasting on his open wounds. You will see few pictures such as this in my exhibit. I will not exploit these victims again.

全身に火傷を負いつつも必死に生きようとする男性。重度の火傷は耐え難い激痛を走らせる。その悶え苦しむ姿と焼けただれた肉体が放つ臭いで私は気分が悪くなった。息を止めたかった。傷口にわいたウジやハエから目をそらしたかった。この様な写真の展示はほとんど行っていない。被爆者を見世物にするようなことは二度としない。





1945 Aug Nagasaki Epi Center of A-Bombing





Outside the window, a grim scene. Inside, life goes on for a new generation of Japanese school children. The true story of a courageous girl who succumbed to radiation sickness, told in the book A Thousand Cranes, is just one way Japanese people choose to remember the ongoing tragedies of Nagasaki and Hiroshima. Remembering, for we cannot, we must not, let anyone become the victim or the attacker again.

窓の外に広がる厳しい現実。だが、小学校の教室の中では次世代の子供達の生活が息づいている。『千羽鶴』という本の中に、原爆病に倒れた勇気ある少女の実話が載っている。今なお続く長崎と広島の悲劇を忘れないための一つの方法である。二度とこのような犠牲者を出すことはできないし、出してはならない。そのためにも忘れてはならないのだ。



Children followed me everywhere, for they knew marines had candy, chewing gum, and food. This picture shows a typical scene with a young marine handing out sweets. Japan's food supply had been cut off from the Pacific for more than a year, and ships from Asia, Korea, and China had been sunk by our planes. The Japanese were starving.

どこに行っても子供達がついて來た。海兵隊員がキャンディーやガム、その他の食べ物を持っていることを知っていたからだ。この写真は若い海兵隊員が甘いものを子供達に分けているところで、当時よく見かけた光景である。日本への太平洋経由の食料補給は既に1年以上断ち切られており、アジア、韓国、中国からの輸送船も米軍の爆撃機によって撃沈されていた。日本人は飢えていた。

books up to date, was 95% of the general
stock during the "Golden" years recorded in 1895.
Approximately 10,000 titles were sold during the year,
with a turnover in stock estimated through Pennsylvania
Provisions and other sales. There are many instances
of such books bound in "books." I thought that here the
old story of "other's left behind" should be told.

СВОИМИ РУКАМИ ПРИЧЕРНОМУ ГЛАЗУ
ПРОДАЛИ СВОИ КНИГИ, А НЕЧЕГО БЫ БЫТЬ
ПОДЕНТОМ. ВАСОВАЯ ОБЛОЖКА БЫЛА
СДЕЛАНА ИЗ ДРЕВЕНИХ ПЛОСКОСТЕЙ, ЧТО БЫ БЫТЬ
СВОИМИ КНИГИ. ВСЕ ПРОДАЛИ СВОИ КНИГИ,

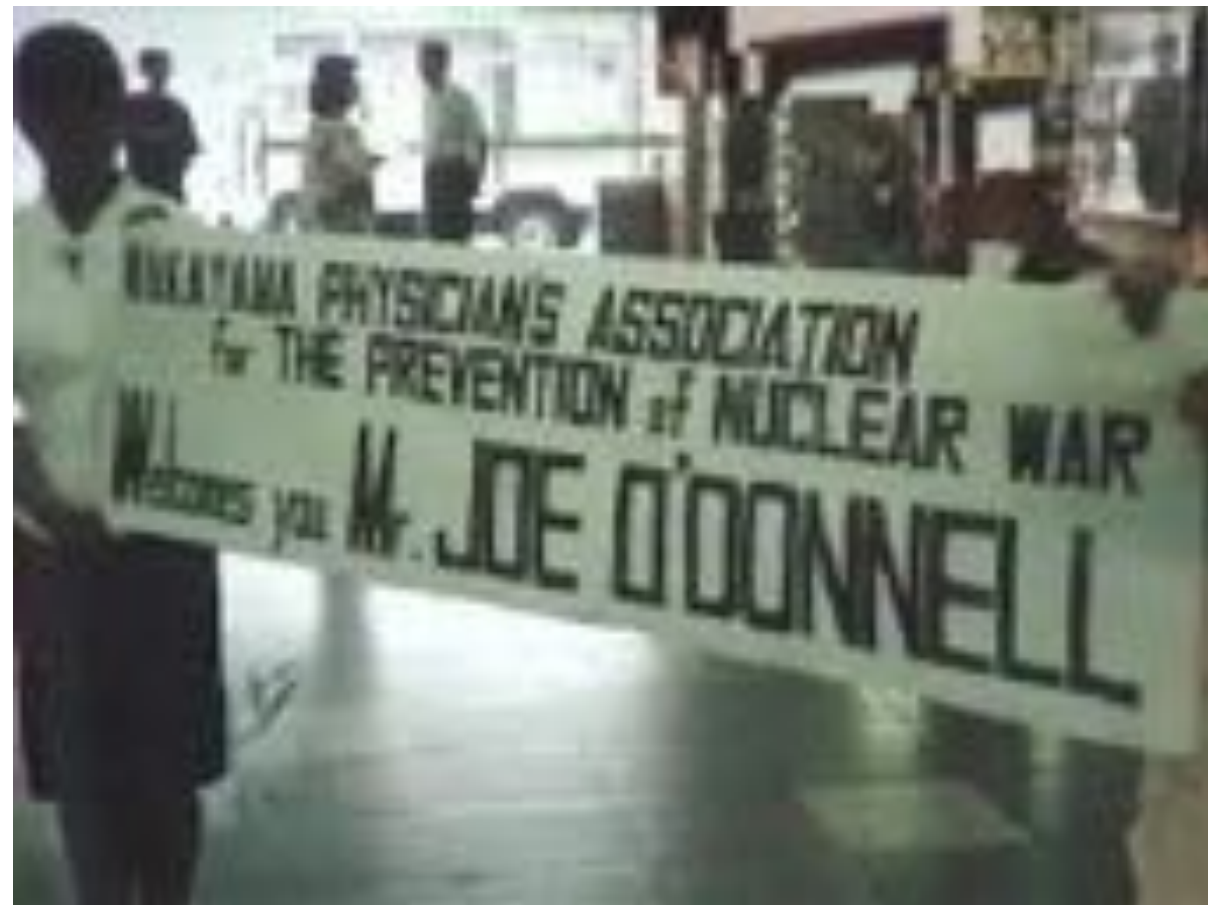






新規開拓園のトランクを開け、

毎度に驚きを以て――才媛洋母が何を云フカ――と喜んでいた。



[http://www.japanprobe.com/2008/08/08/
joe-odonnells-photos-of-nagasaki/](http://www.japanprobe.com/2008/08/08/joe-odonnells-photos-of-nagasaki/)

Joe O' Donnell
2007年8月6日死去
(87歳)



Tyge O'Donnell(middle) with Hibakushas Mr. Hayasaki(left) and Mr. Taniguchi(right)



Chemistry –
Our life,
Our future

2011年 UNESCO国際化学年
「化学、私たちの生命、私たちの未来」
<http://www.chemistry2011.org>

**マリー・キュリーのノーベル化学賞
(ラジウムとポロニウムの発見) から
100周年**

**物質の科学である化学はいたるところに存在する。
気体、液体、固体、プラズマなど、すべての既知物質は、
さまざまな化学元素や元素化合物で構成されている。**

**化学は生命、特に物質の構成要素、エネルギー、さらに
生命そのものの構成要素を解明しようとするとき、化学はすべて
の科学と結びつく。 (UNESCOイリナ・ボコヴァ事務局長)**

この100年の間に化学においてめざましい発見や発明がなれ、その成果を活かして数々の優れた技術が生まれた。私たちの豊かな**物質文明**は多くの**化学産業技術**に支えられていく。20世紀における**人類の平均寿命の伸長**への貢献は特筆に値する。

しかし、現在、我々は**人口爆発**に端を発し、**資源の枯渇**、**気候変動**、**環境劣化**、**貧困**をはじめとするさまざまな地球規模の問題に直面している。

科学が人類の生存に果たすべき役割は何か？
真理を追究する本質は不变だが、科学と社会のかかわりは時代の宿命である。

化学界、産業界も社会の求めに応じて、今一度あり方を見つめ直す必要がある。

(野依良治 世界化学年日本委員会委員長、理化学研究所理事長、2001年ノーベル化学賞受賞者)

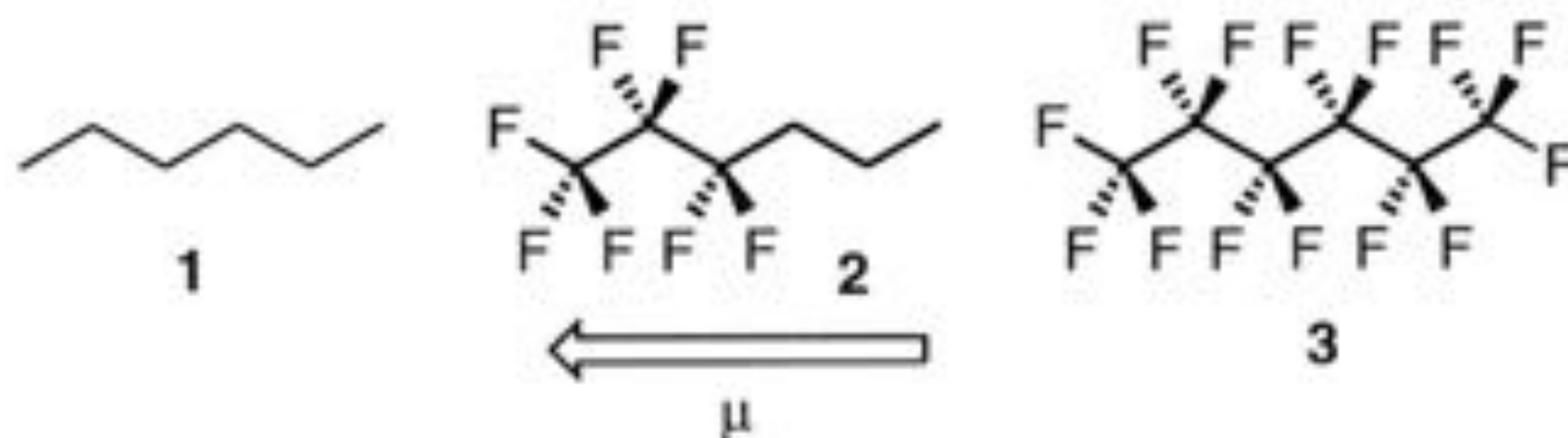
Table. Comparison of several properties of C-X bonds and C-C bond

X	H	F	Cl	Br	I	C
結合長C-X ^a	bond length	109 <u>138</u>	177	194	213	-
結合エネルギー ^b	bond energy	98.0 <u>115.7</u>	77.2	64.3	50.7	<u>~83</u>
電気陰性度(-)	electronegativity	2.20 <u>3.98</u>	3.14	2.96	2.66	<u>2.55</u>
双極子モーメント ^c	dipole moment	(0.4) <u>1.41</u>	1.46	1.38	1.19	-
van der Waals radius ^d	radius	120 <u>147</u>	175	185	198	-
原子分極率 ^e	atomic polarizability	0.667 <u>0.557</u>	2.18	3.05	4.7	-

a) pm, b) kcal mol⁻¹, c) $\mu(\text{C-X}) (\text{D})$, d) pm , e) 10^{-24} cm^{-3}

dielectric const. C_6F_{14} (1.69) vs C_6H_{14} (1.89) vs $\text{C}_3\text{F}_7\text{-C}_3\text{H}_7$ (5.99)

Table 1.4 Comparison of selected physicochemical properties of *n*-hexane (**1**) and its perfluorinated (**3**) and semifluorinated (**2**) analogs [36].



Property	1	2	3
B.p. (°C)	69	64	57
Heat of vaporization, ΔH_v (kcal mol ⁻¹)	6.9	7.9	6.7
Critical temperature, T_c (°C)	235	200	174
Density, d^{25} (g cm ⁻³)	0.655	1.265	1.672
Viscosity, η^{25} (cP)	0.29	0.48	0.66
Surface tension, γ^{25} (dyn cm ⁻¹)	17.9	14.3	11.4
Compressibility, β (10 ⁻⁶ atm ⁻¹)	150	198	254
Refractive index, n_D^{25}	1.372	1.190	1.252
Dielectric constant, ϵ	1.89	5.99	1.69

オクタデカンのジグザグ構造と ペルフルオロオクタデカンの螺旋構造



Figure 1.2 The zigzag conformation of octadecane (a) compared with the helical perfluorooctadecane (b), modeled at the PM3 level of theory [39, 40].

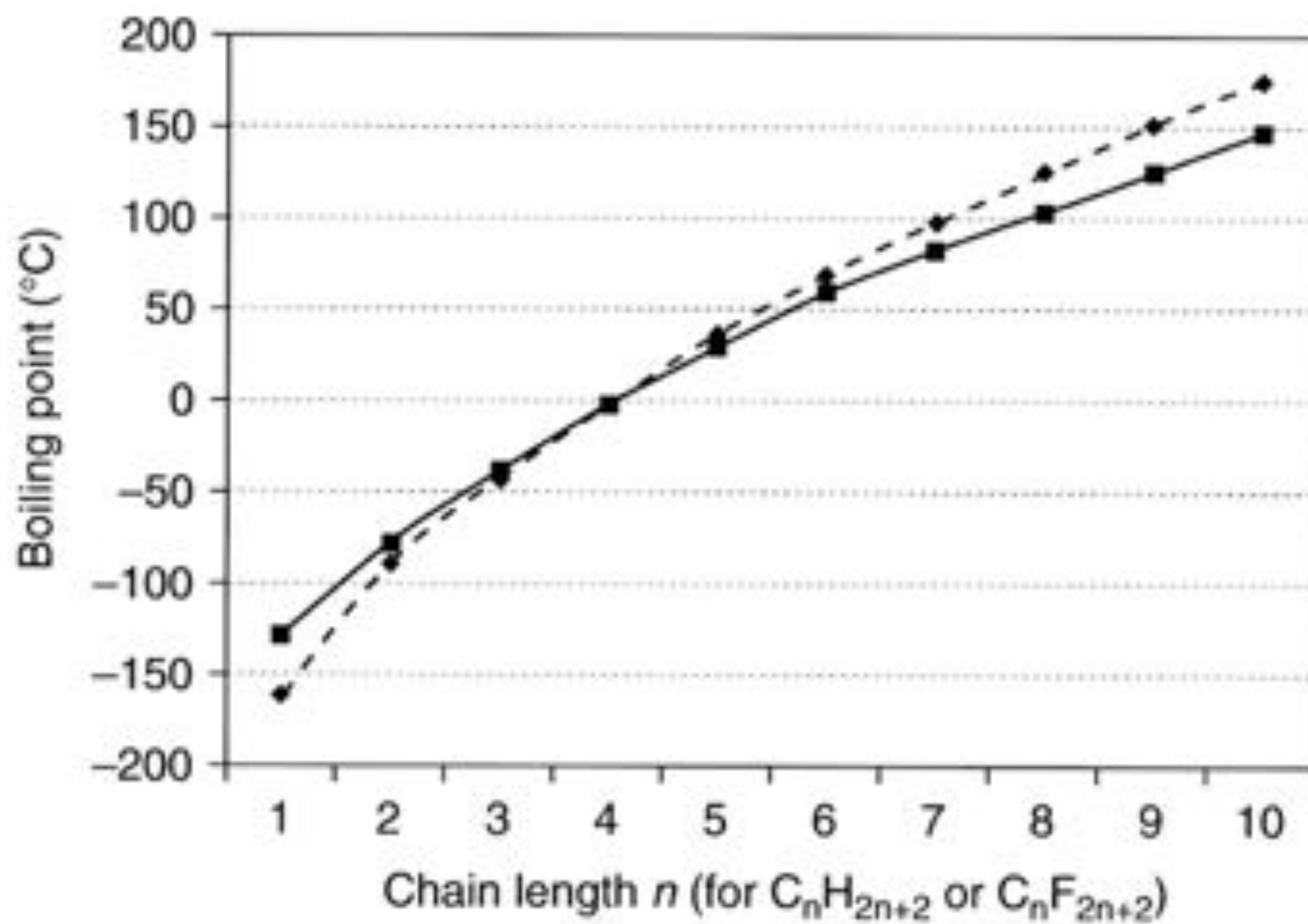


Figure 1.3 The boiling points of homologous alkanes (◆) compared with those of the corresponding perfluoroalkanes (■) [36].

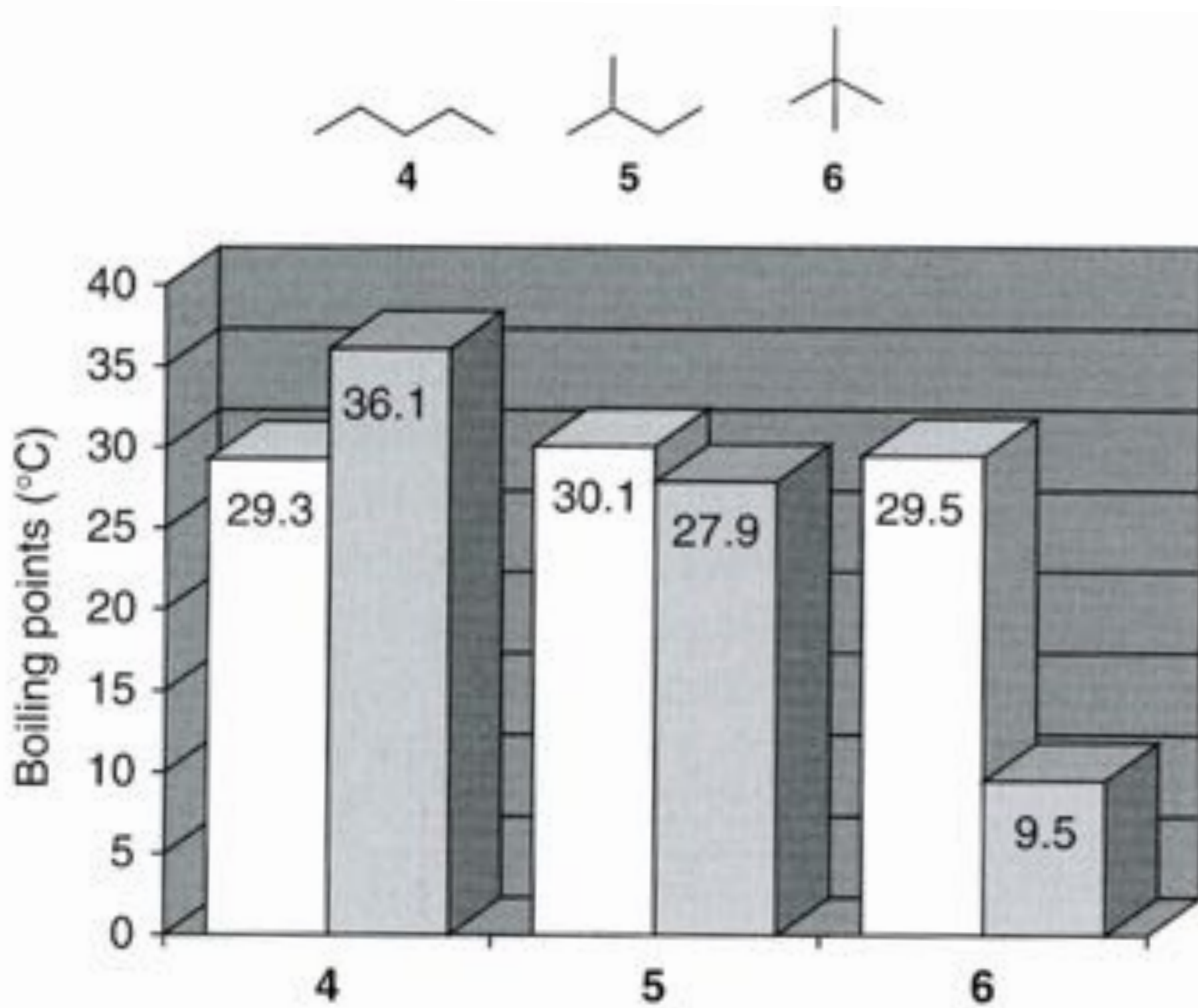


Figure 1.4 Boiling points of linear and branched isomers of perfluoropentane (white bars) and pentane (gray bars) [36].

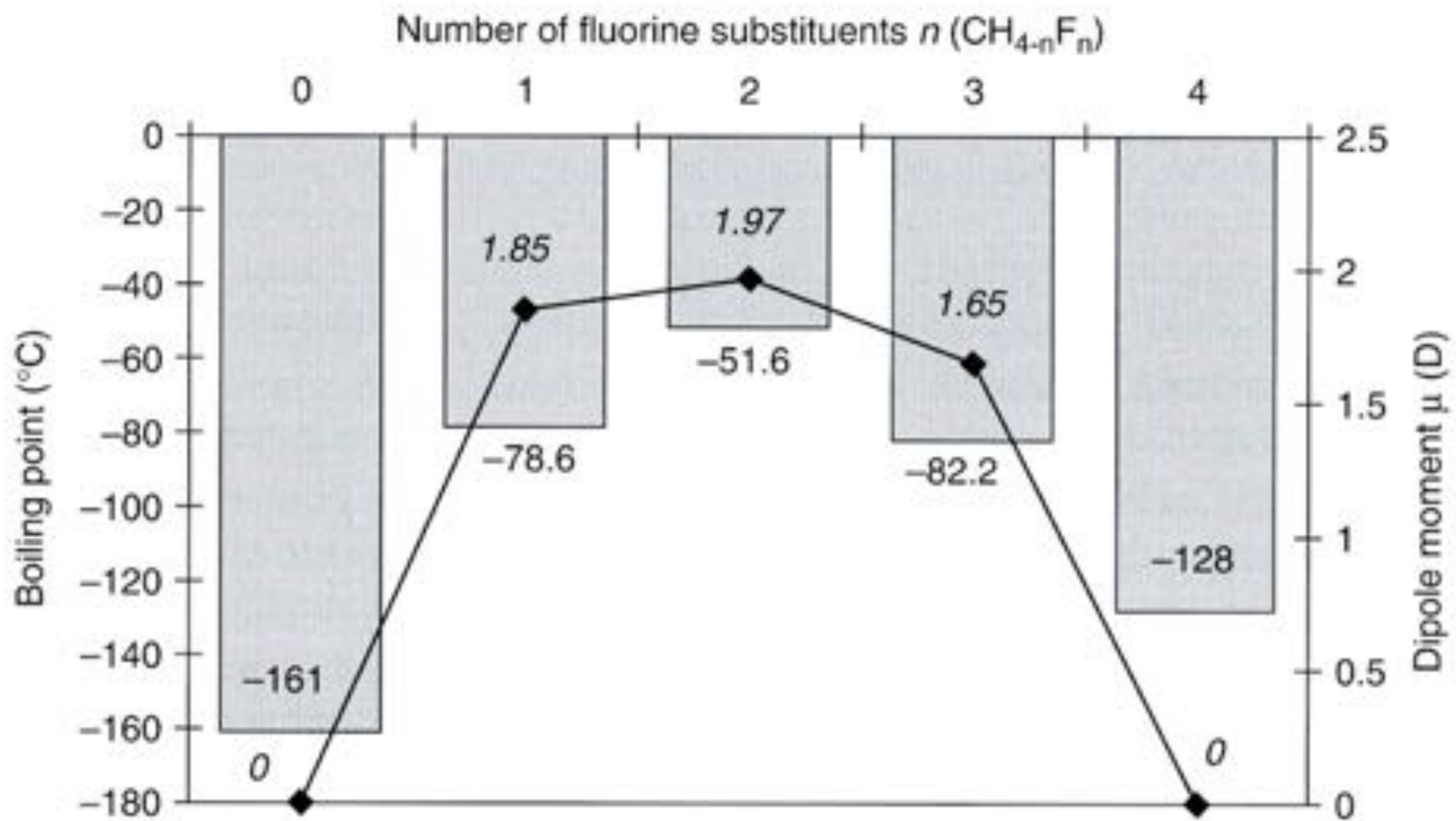
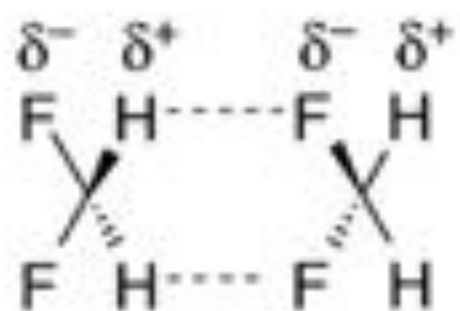
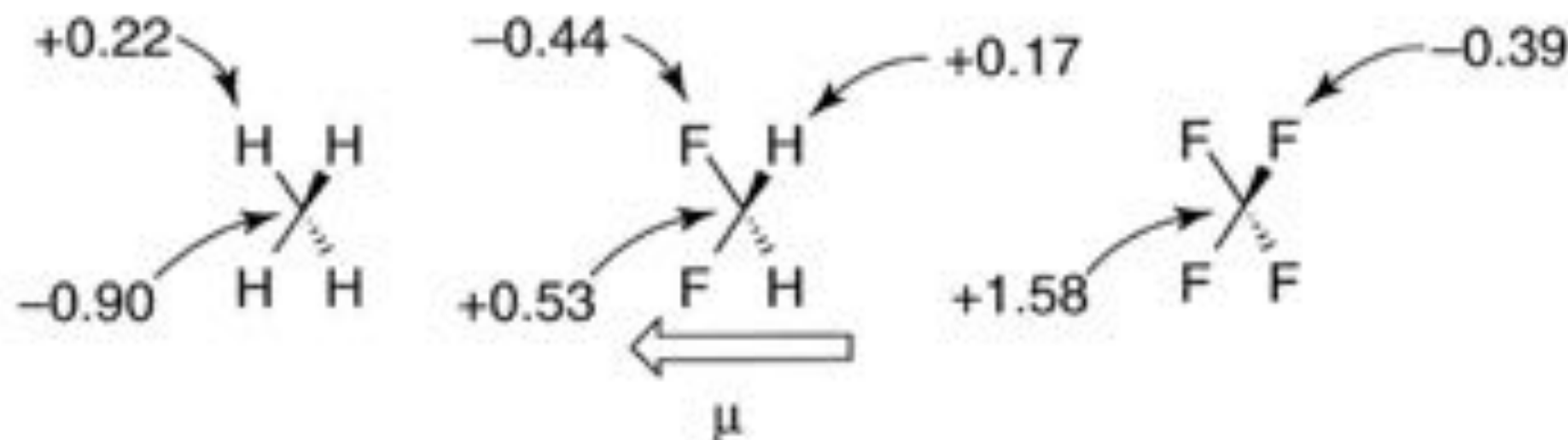


Figure 1.5 Boiling points (gray bars) and dipole moments (D) (♦, numerical values in italics) of methane and the different fluoromethanes CH_4-nF_n [36].



(a)

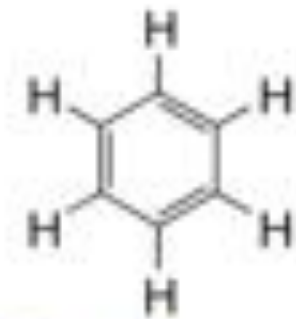
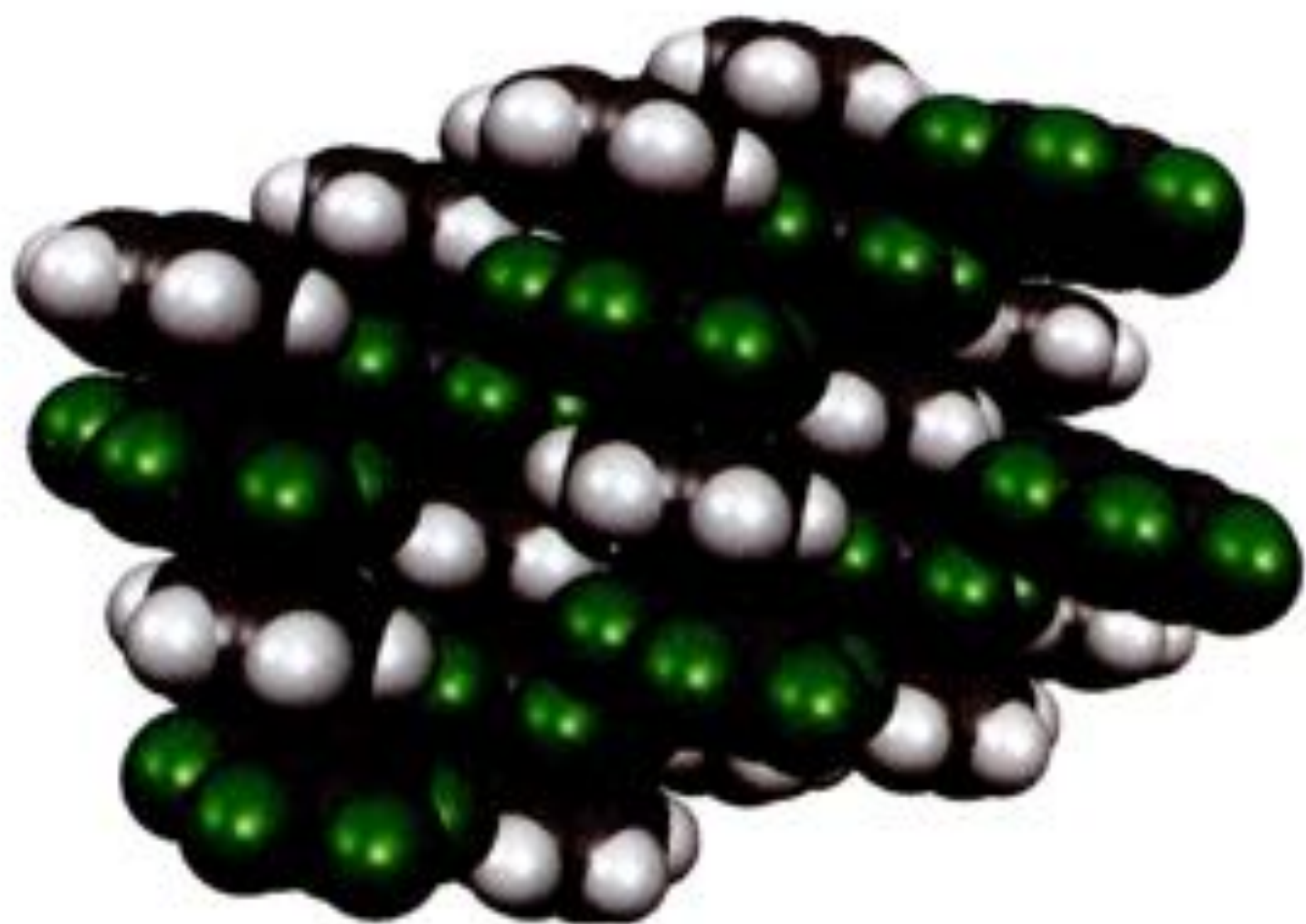


(b)

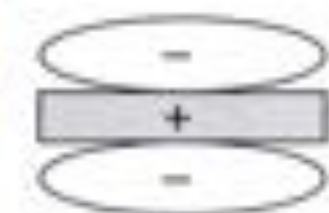
Figure 1.6 (a) Comparison of the distribution of natural partial charges q (e) on CH_4 , CH_2F_2 , and CF_4 (MP2/6-31+G** level of theory) [46] and (b) the calculated structure (AM1) of a doubly

hydrogen-bridged difluoromethane dimer. The electrostatic potential (red denotes negative and blue positive partial charges) is mapped on the electron isodensity surface [40].

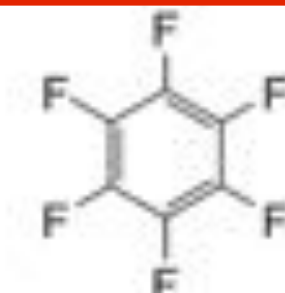
quadrupole moment 四重極モーメント



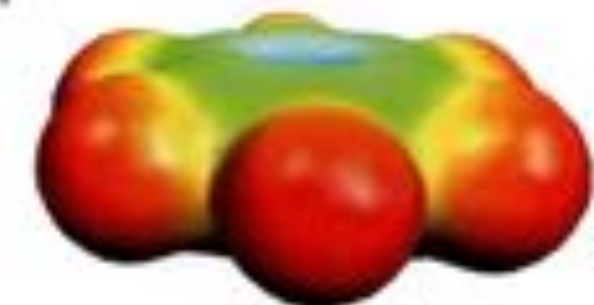
(a)



$$-29.0 \times 10^{-40} \text{ C m}^{-2}$$



(b)



$$+31.7 \times 10^{-40} \text{ C m}^{-2}$$

Figure 1.7 X-ray crystal structure of the benzene–hexafluorobenzene 1:1 complex, measured at 30 K in the lowest-temperature modification [49b].

C-F Bond Length calculated by MP2/6-31+G(d,p):

CH_3F (140 pm) > CH_2F_2 (137 pm) > CHF_3 (135 pm) > CF_4 (133 pm)

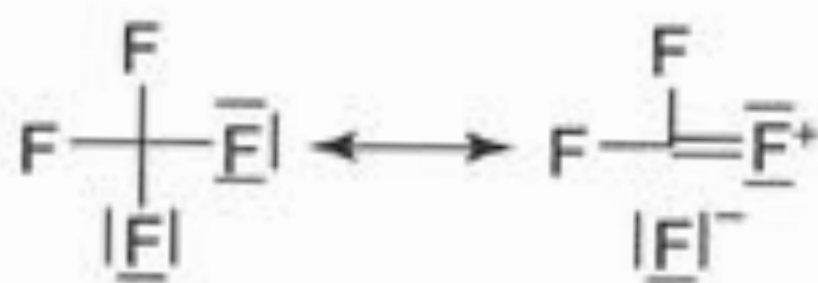
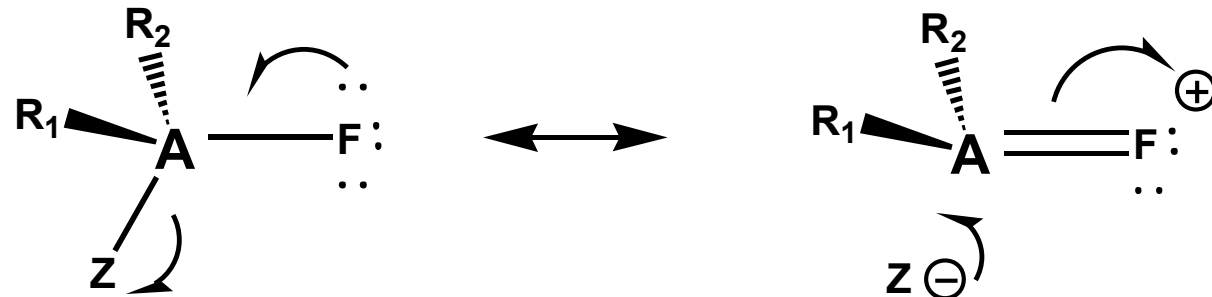
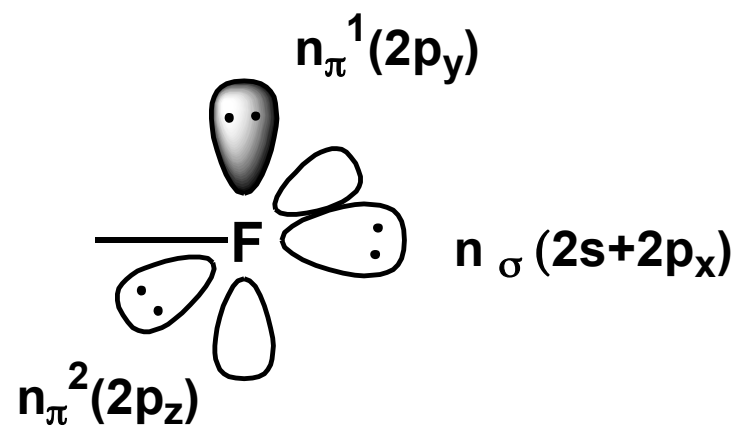


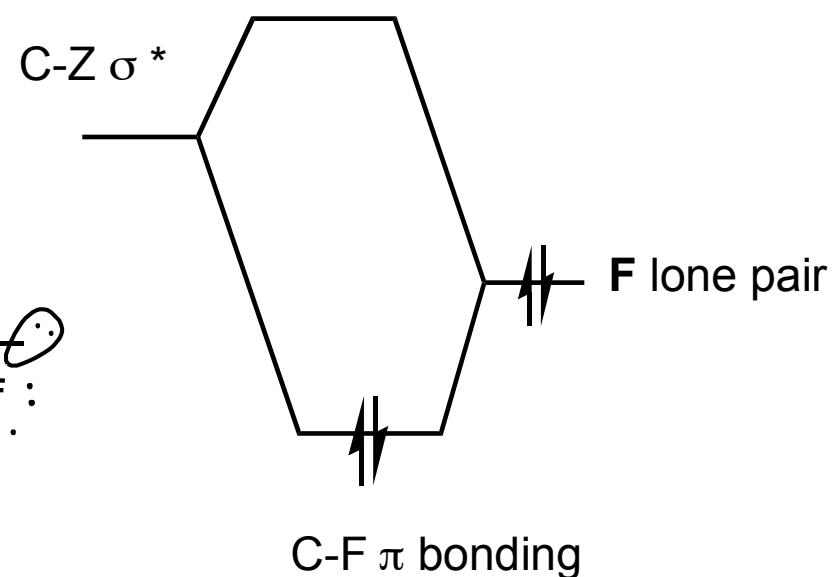
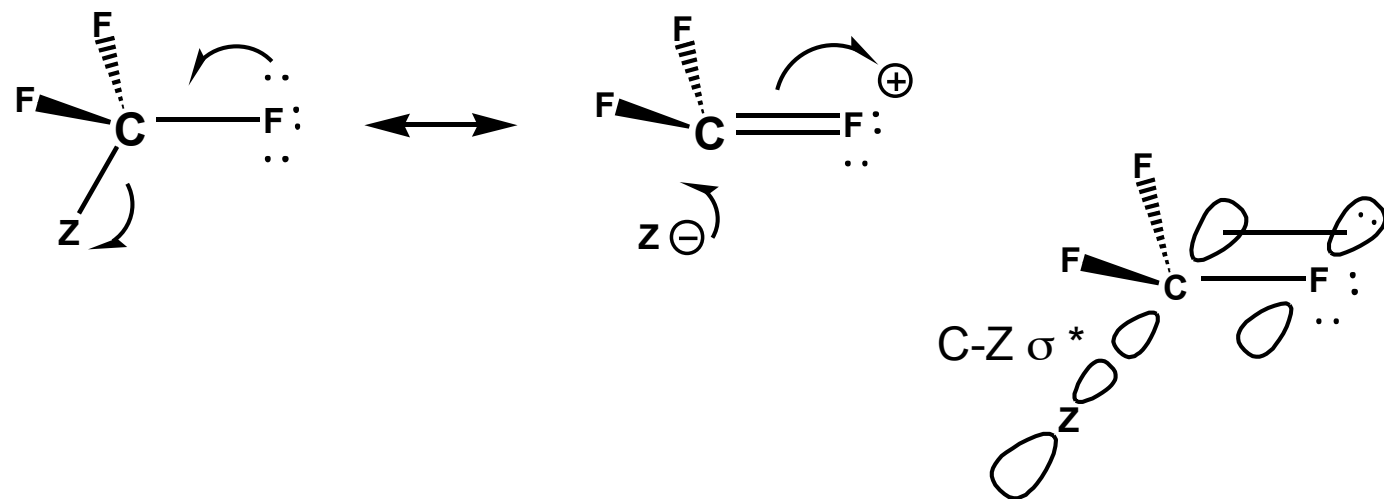
Figure 1.9 Resonance stabilization of the carbon–fluorine bond in tetrafluoromethane, and electrostatic and steric shielding against nucleophilic attack on the central carbon atom. The electrostatic potentials are mapped on the electron isodensity surface (calculation at the MP2/6–31+G* level of theory [40, 46]; red denotes negative and blue positive partial charges).

Positive (Fluorine) Hyperconjugative Stabilization of A-F Bond



delocalization of lone pair($n\pi$) electrons
on fluorine atom into A-Z σ^* bond

strong C-F bonds of CF_3 group

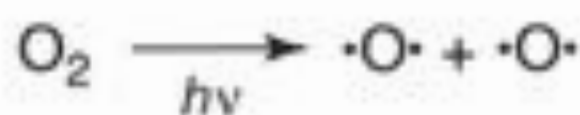


**Table Acidities(pK_a) of organic acids
in comparison with their fluorinated alnalog**

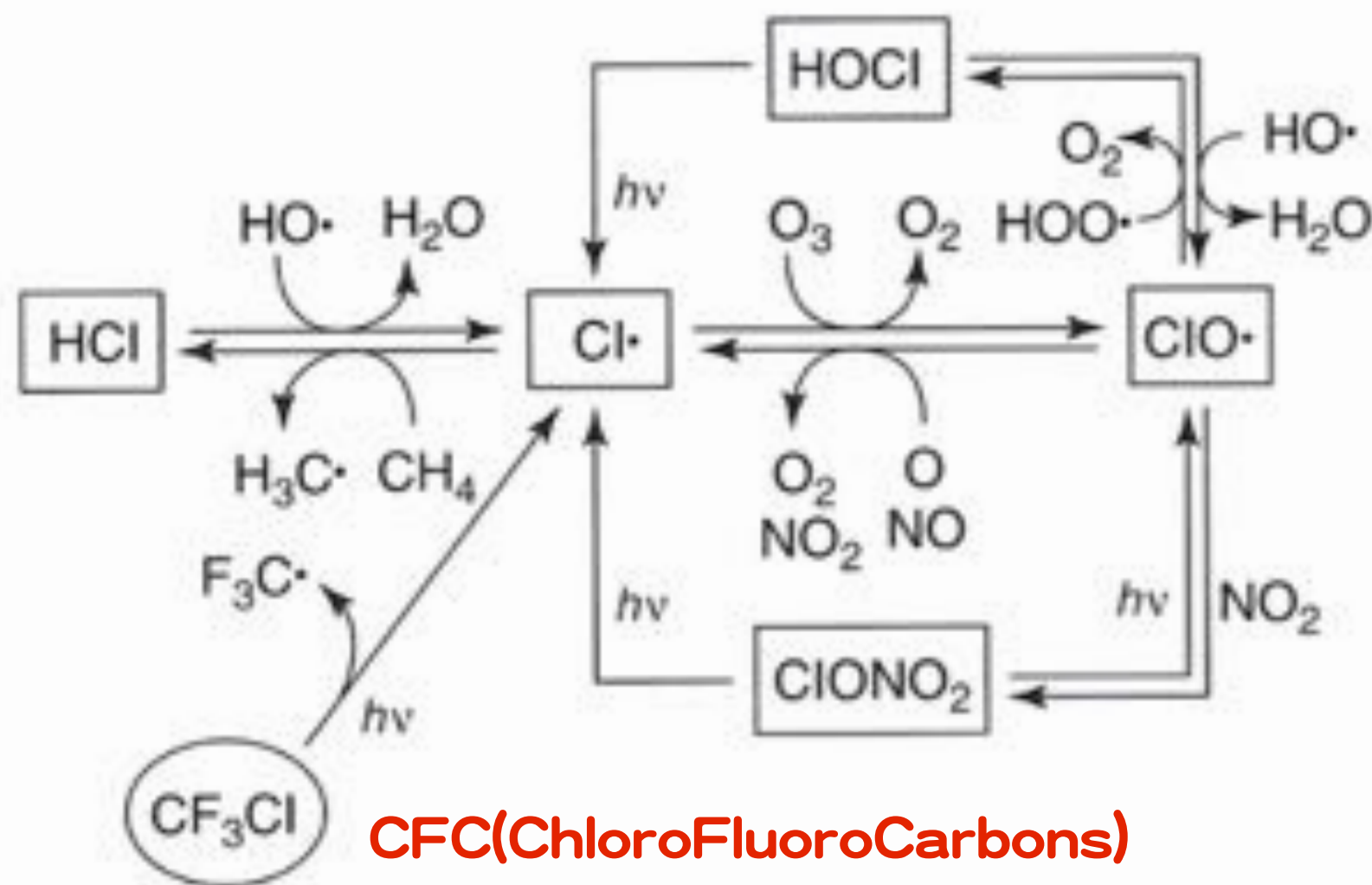
Acid	pK_a
<u>CH_3COOH</u>	<u>4.76</u>
<u>CF_3COOH</u>	<u>0.52</u>
$\text{C}_6\text{H}_5\text{COOH}$	4.21
$\text{C}_6\text{F}_5\text{COOH}$	1.75
$\text{CH}_3\text{CH}_2\text{OH}$	15.9
$\text{CF}_3\text{CH}_2\text{OH}$	12.4
$(\text{CH}_3)_2\text{CHOH}$	16.1
$(\text{CF}_3)_2\text{CHOH}$	9.3
<u>$(\text{CH}_3)_3\text{COH}$</u>	<u>19.0</u>
<u>$(\text{CF}_3)_3\text{COH}$</u>	<u>5.4</u>
<u>$\text{C}_6\text{H}_5\text{OH}$</u>	<u>10.0</u>
<u>$\text{C}_6\text{F}_5\text{OH}$</u>	<u>5.5</u>

Table Basicities(pK_b) of organic bases in comparison with their fluorinated alnalog

Base	pK_b
<u>$\text{CH}_3\text{CH}_2\text{NH}_2$</u>	<u>3.3</u>
<u>$\text{CF}_3\text{CH}_2\text{NH}_2$</u>	<u>8.1</u>
<u>$\text{C}_6\text{H}_5\text{NH}_2$</u>	<u>9.4</u>
<u>$\text{C}_6\text{F}_5\text{NH}_2$</u>	<u>14.36</u>



Scheme 1.2 Mechanism of ozone formation in the stratosphere [59]. Dioxygen is photo-chemically split into atomic oxygen, which adds to another dioxygen molecule. The excess energy from the recombination is carried away by a collision partner (M).

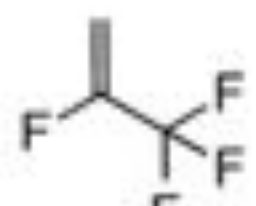


塩素ラジカルによる
触媒的オゾン層破壊

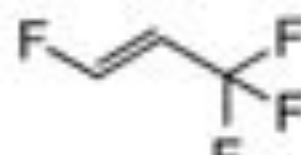
Figure 1.10 Catalytic ozone degradation by CFCs in the stratosphere [59].

Table 1.7 Atmospheric lifetimes, global warming potential (GWP), and ozone-depleting potential (ODP) of different fluorocompounds. The GWP of a material is the integrated radiative forcing over 100 years after release of 1 kg divided by the integrated radiative forcing over the same period from release of 1 kg of carbon dioxide [62, 65, 66a].

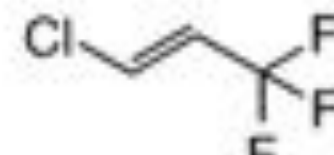
Compound	Atmospheric lifetime (years)	GWP	ODP
CF ₄	50 000	5 700	—
C ₂ F ₆	10 000	11 400	—
CF ₃ Cl (CFC-13)	640	14 000	1.0
C ₂ F ₅ Cl (CFC-115)	1 700	10 300	0.6
CF ₃ Br (Halon 1301)	65	6 900	10.0
SF ₅ CF ₃	1 000	17 500	—
SF ₆	3 200	22 200	—
CHF ₃ (HFC-23)	243	14 800	—
CH ₂ FCF ₃ (HFC-134a)	13.6	1 600	—
C ₄ F ₉ OC ₂ H ₅ (HFE-7200)	0.77	55	—
HFO-1234yf	—	4	—
HFO-1234ze	—	6	—
HFO-1233zd	—	7	—



HFO-1234yf



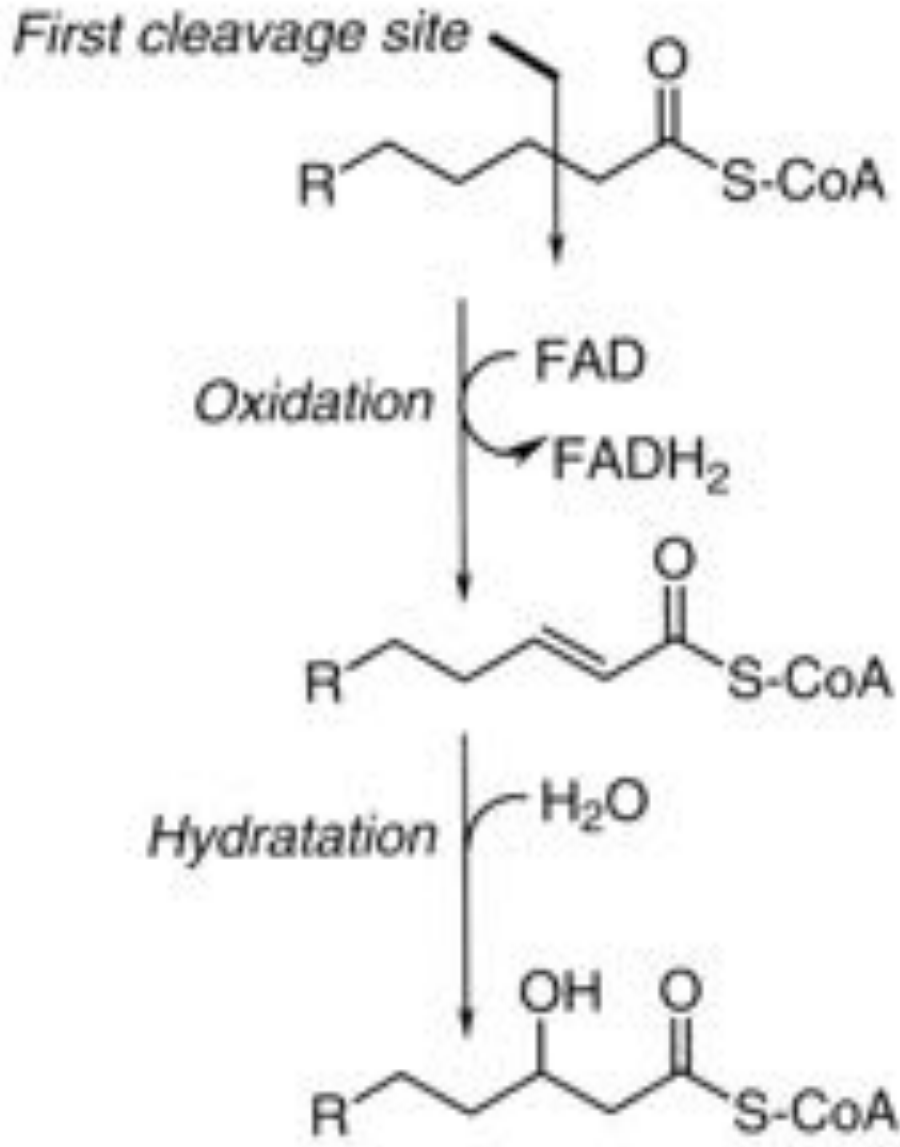
HFO-1234ze



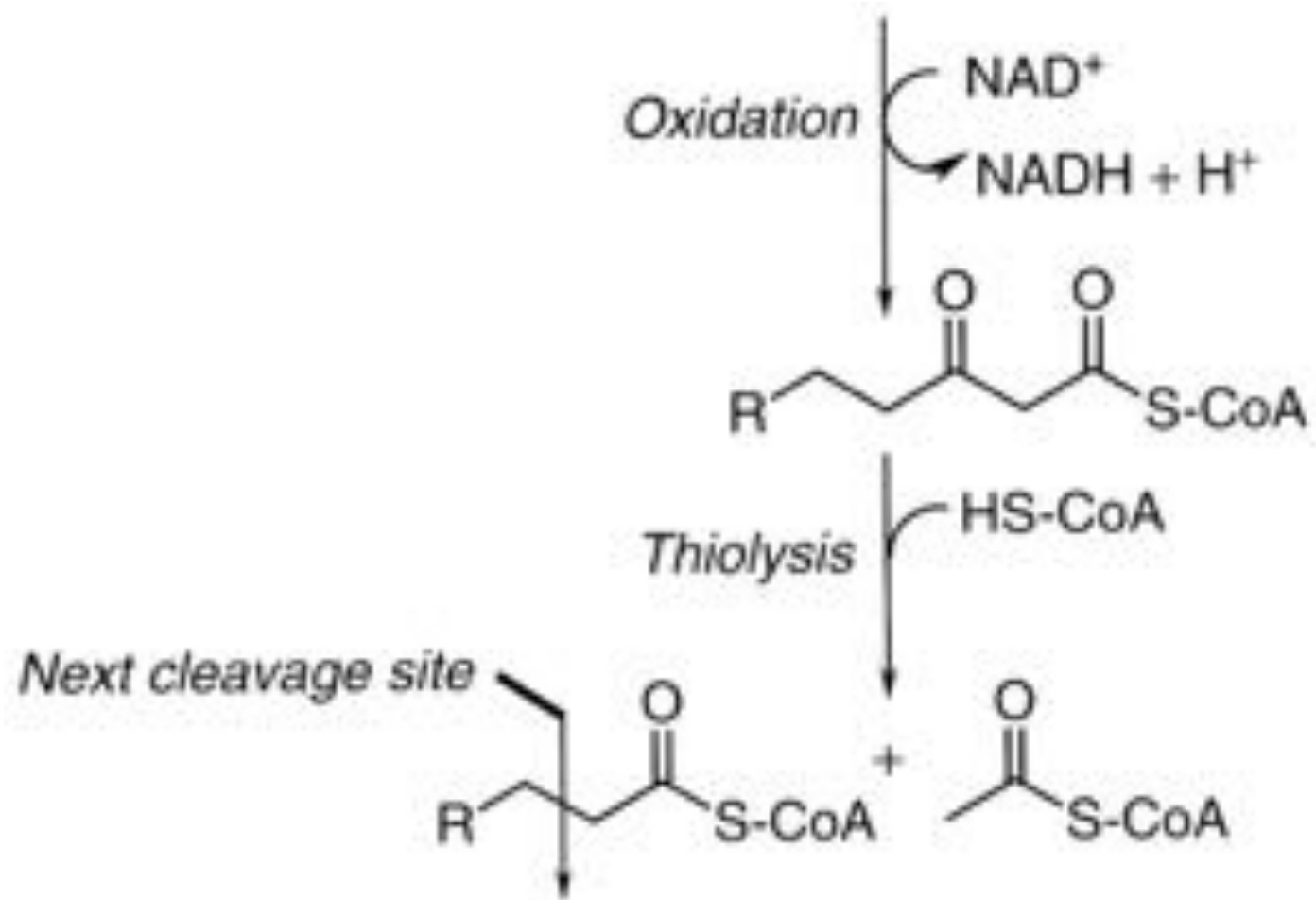
HFO-1233zd

Scheme 1.3 Second-generation CFC replacements with reduced global warming potential [64].

HFO(HydroFluoroOlefins)

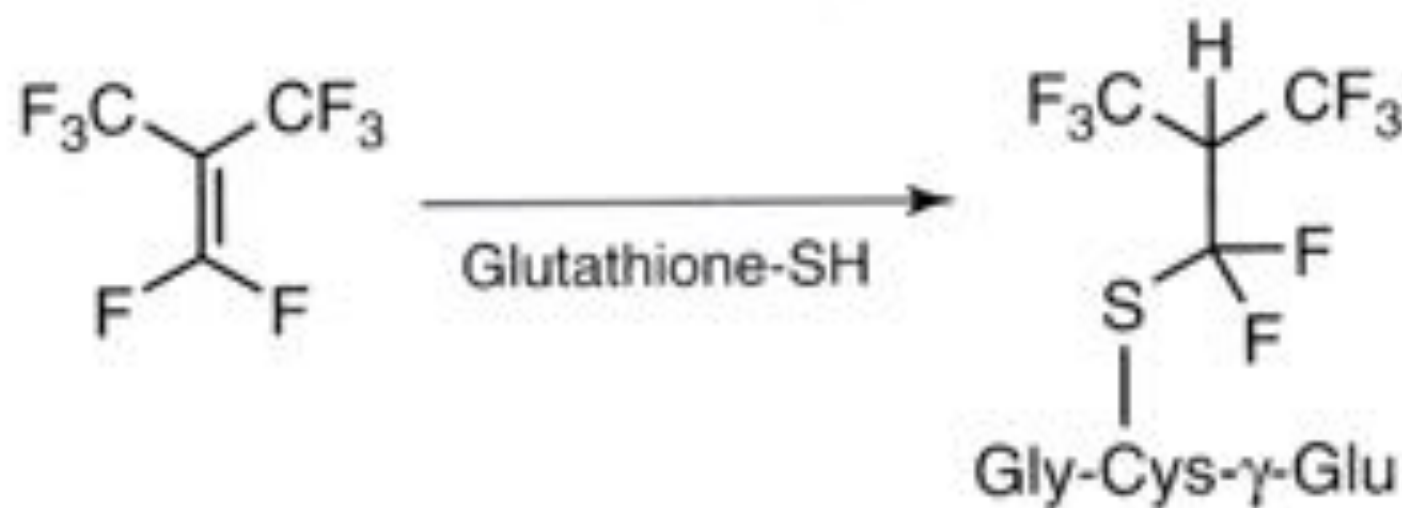


The “alternating” toxicity of α -fluorocarboxylic acids

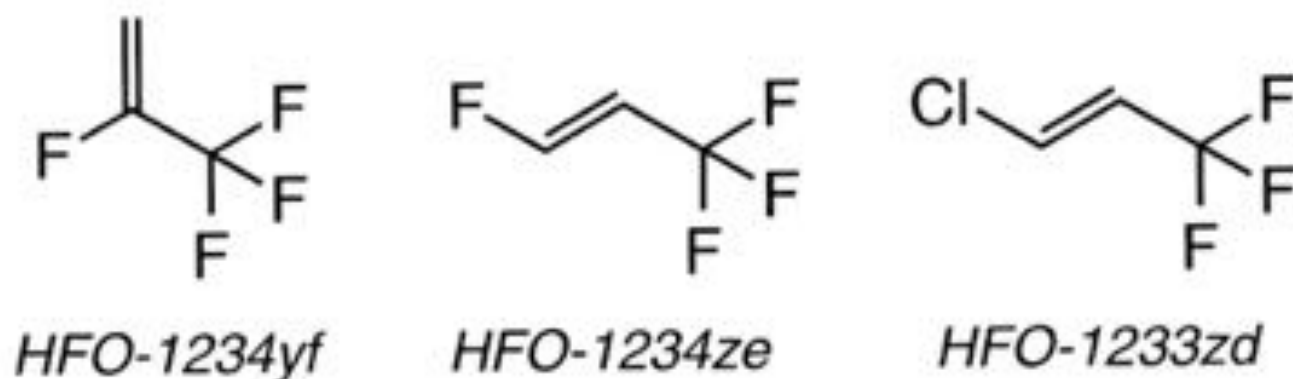


偶数炭素脂肪酸からフルオロ酢酸 (highly toxic)が生成
奇数炭素脂肪酸から3-フルオロプロピオン酸(less toxic)が生成

Scheme 1.4 The “alternating” toxicity of ω -fluorocarboxylic acids can be explained by the oxidative metabolism of fatty acids in C_2 units. Only if the number of carbon atoms is even is the final oxidation product the highly toxic fluoroacetate [72]. Odd-membered ω -fluoro fatty acids are metabolized to the less toxic 3-fluoropropionate.



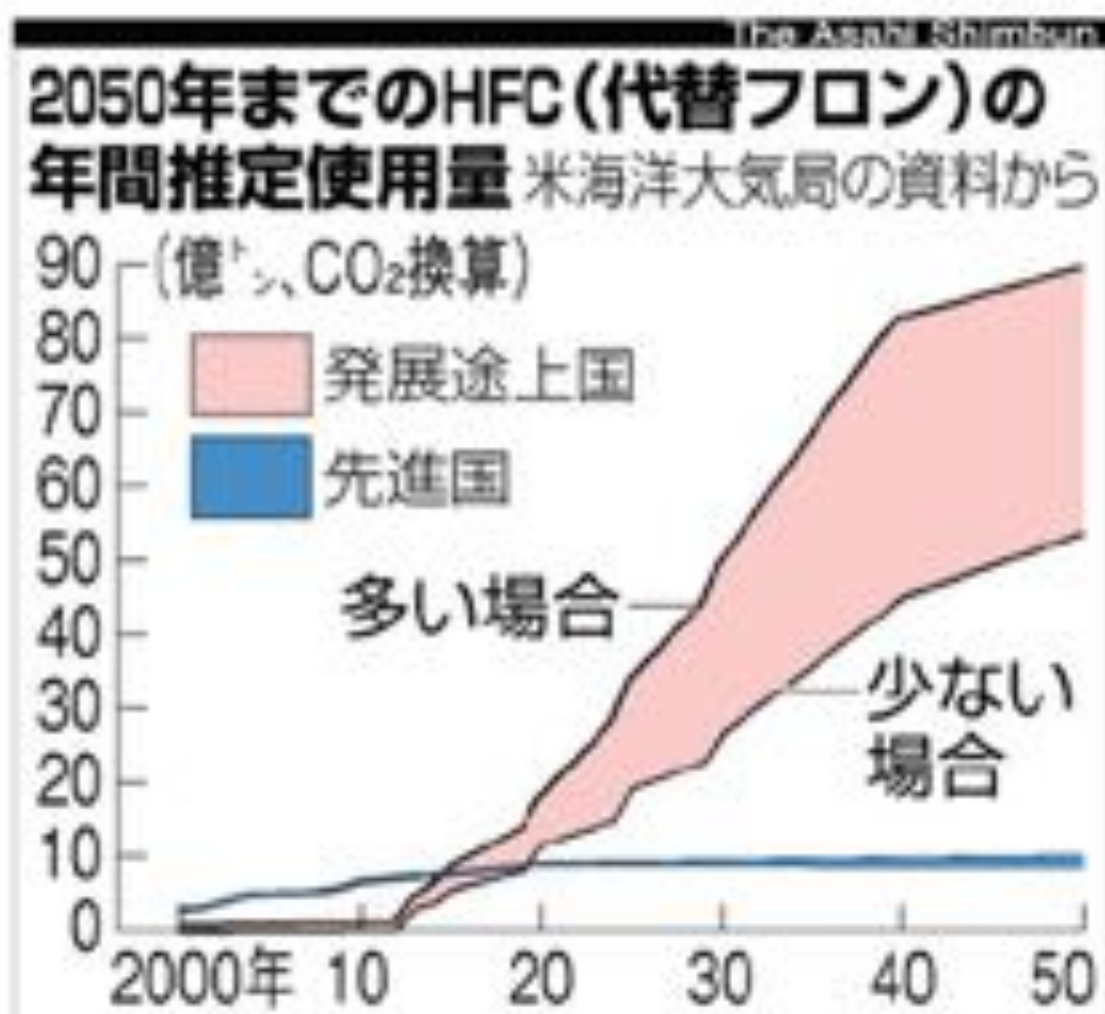
Scheme 1.5 Formation of the toxic glutathione–perfluoroisobutene adduct.



Scheme 1.3 Second-generation CFC replacements with reduced global warming potential [64].

CF₃基およびフッ素置換オレフィン類は求核的加水分解反応によるHF発生の可能性が大きい

代替フロン削減、米中協力 別物質の商機狙う？



2050年までのHFC(代替フロン)の年間推定使用量

よって二酸化炭素(CO₂)の約1万5千倍もある。

【石井徹】オバマ大統領と習近平国家主席による米中首脳会談で、地球温暖化の原因となる代替フロンのハイドロフルオロカーボン(HFC)の削減を目指して協力することが合意された。温室効果ガスの二大排出国が温暖化防止で手を結ぶのは初めてだが、合意からは両国の思惑も垣間見える。

HFCは、冷蔵庫の冷媒などに使われている。クロロフルオロカーボン(CFC)やハイドロクロロフルオロカーボン(HCFC)と違ってオゾン層は破壊しないが、温室効果は種類によって二酸化炭素(CO₂)の約1万5千倍もある。

CFCやHCFCについては全廃の道筋がついているが、HFCは使用量が急増すると見られている。米海洋大気局によると、途上国のHFCの使用量は50年までにCO₂換算で50億～90億トンに達し、先進国の8倍になる可能性がある。ホワイトハウスは、世界のCO₂排出量の2割近くになる可能性を指摘する。

米中合意で両国は、オゾン層破壊物質を規制するモントリオール議定書の制度を生かしてHFCの生産や使用の削減に取り組むとしている。HFCは地球温暖化防止の京都議定書の対象物質で、モントリオール議定書の枠外だ。

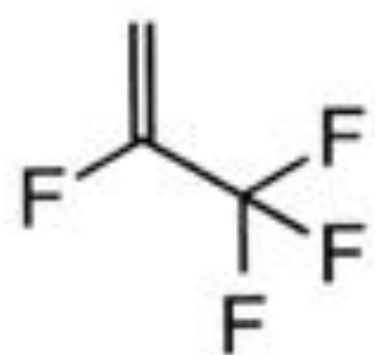
京都議定書から離脱した米国は、4年前からカナダやメキシコとともに、モントリオール議定書の下でHFCの生産や使用を減らす仕組みを締約国会合に提案している。この提案に対し、インドやブラジルとともに強硬に反対してきたのが中国だった。

中国はなぜ、大きく路線を転換したのか。

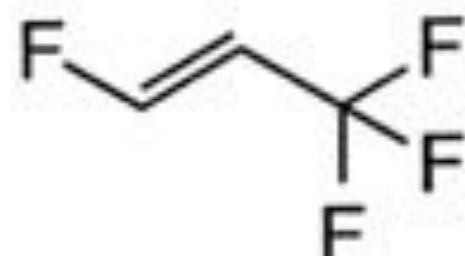
背景には、HFCの有力な代替物質ハイドロフルオロオレフィン（HFO）
1234yfがあると見られている。米国のデュポンとハネウェルが開発、オゾン層を破壊せず、温室効果もCO₂の4倍程度と相対的に低い。価格はHFCの数倍から10倍と高いが、商業ベースに乗ってくれば低下が見込める。中国国内での生産の動きもある。

東北大の明日香寿川教授は「両国間で何らかの取引があった可能性はある」と指摘する。世界各国がHFCからHFOへ転換すれば、かなりの温室効果ガスの削減が見込めるだけでなく、ビジネスとしても有望だ。モントリオール議定書の多国間基金を使えば、途上国への導入資金も担保できる。

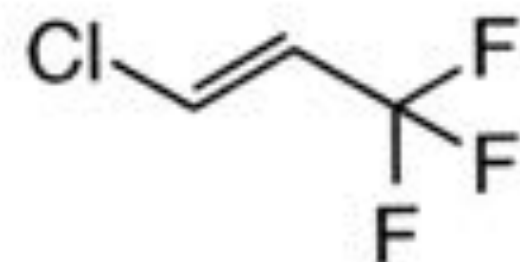
ホワイトハウスは、取り組みの結果、50年までに削減できるHFCの量はCO₂換算で約900億トンに達し、世界の温室効果ガス排出量の2年分にあたるとしている。



HFO-1234yf



HFO-1234ze



HFO-1233zd